

# 第三章 智能机器人运动控制与规划

方宝富

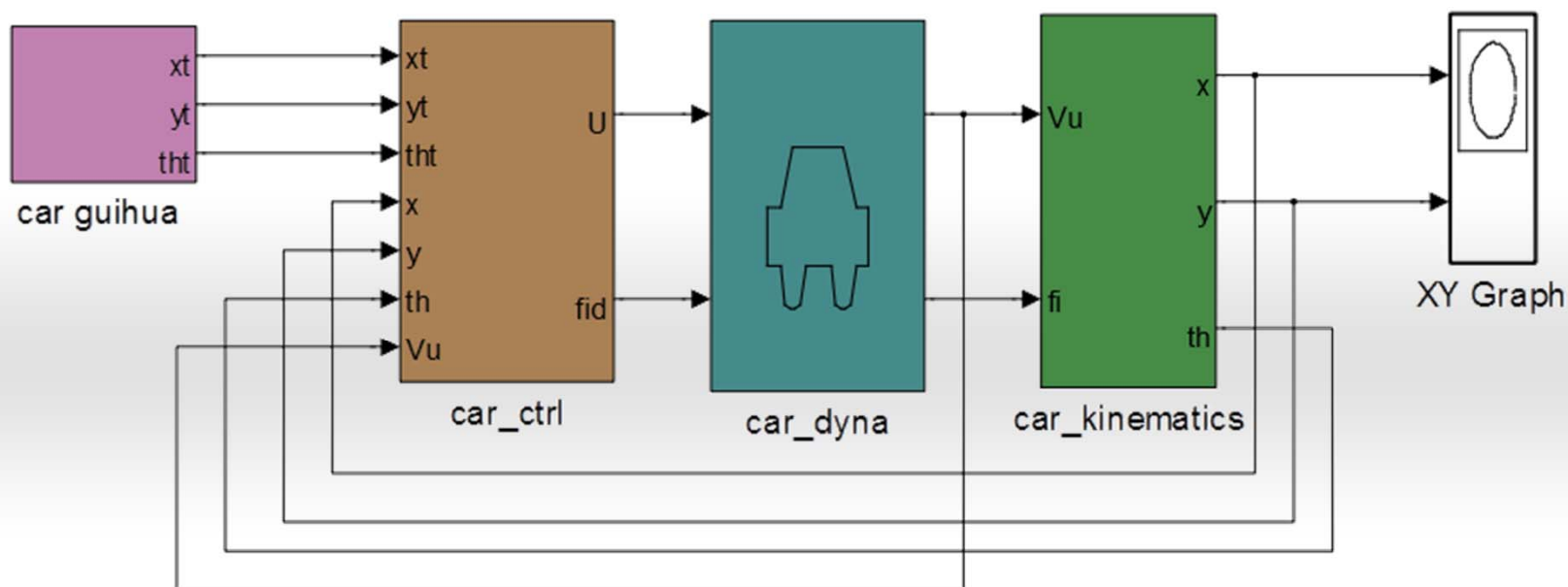
[fangbf@hfut.edu.cn](mailto:fangbf@hfut.edu.cn)



合肥工业大学 计算机与信息学院



### 第三章 智能机器人运动控制与规划



在构建小车运动曲线规划、运动学、动力学、控制器模型的基础上，完成小车跟踪曲线仿真

# 本章大纲

---

移动机器人的平面曲线规划

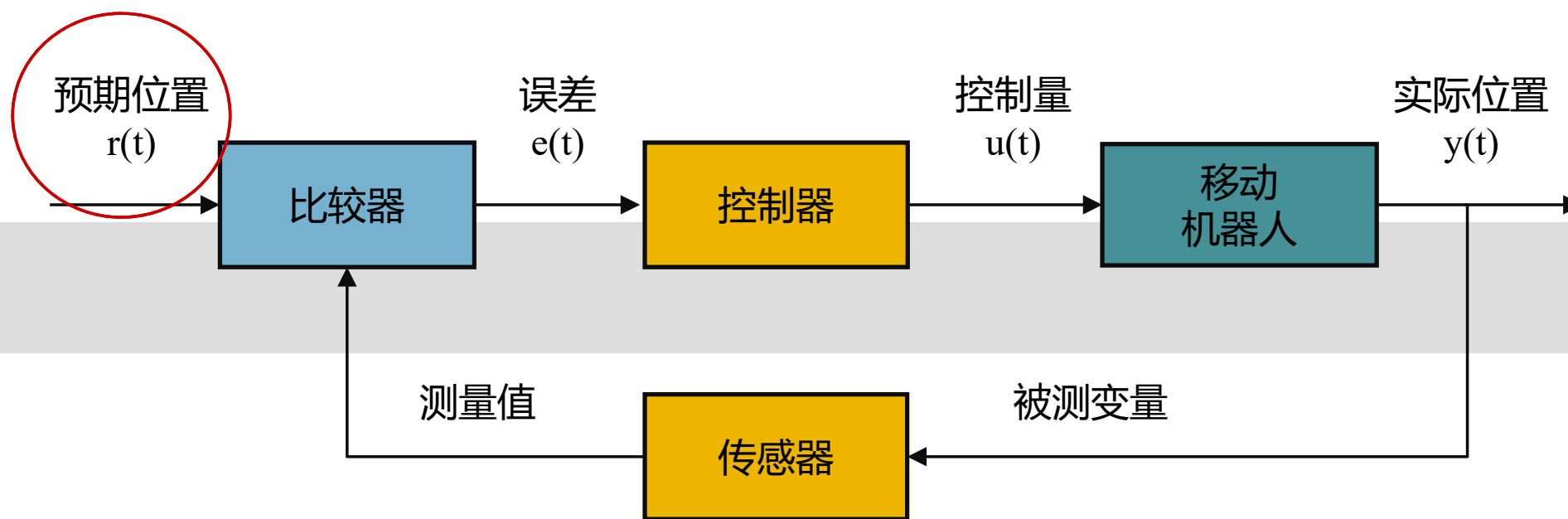
移动机器人运动学模型

移动机器人动力学模型

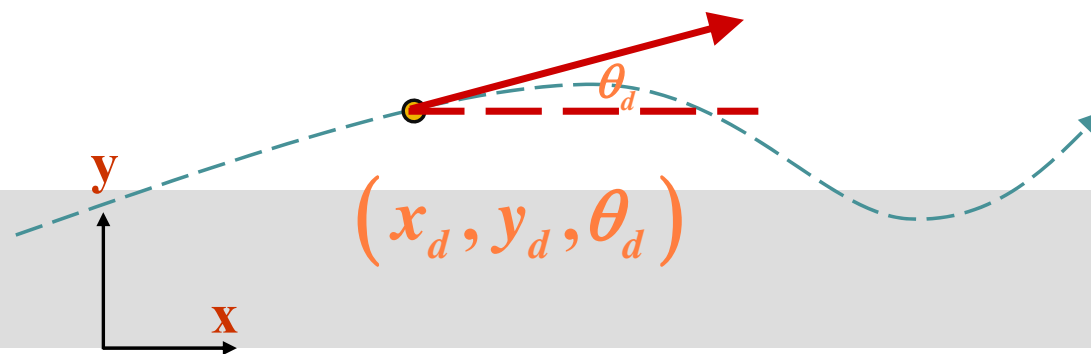
移动机器人曲线跟踪与误差控制



## 3.1 移动机器人的平面曲线规划



## 3.1 移动机器人的平面曲线规划



$$\theta_d = a \tan \left( \frac{\dot{y}_d}{\dot{x}_d} \right)$$

## 3.1 移动机器人的平面曲线规划

我们假设移动机器人在类似平面的场地上，跟踪期望曲线运动。期望曲线如何生成呢？

$$(x_d, y_d, \theta_d)$$

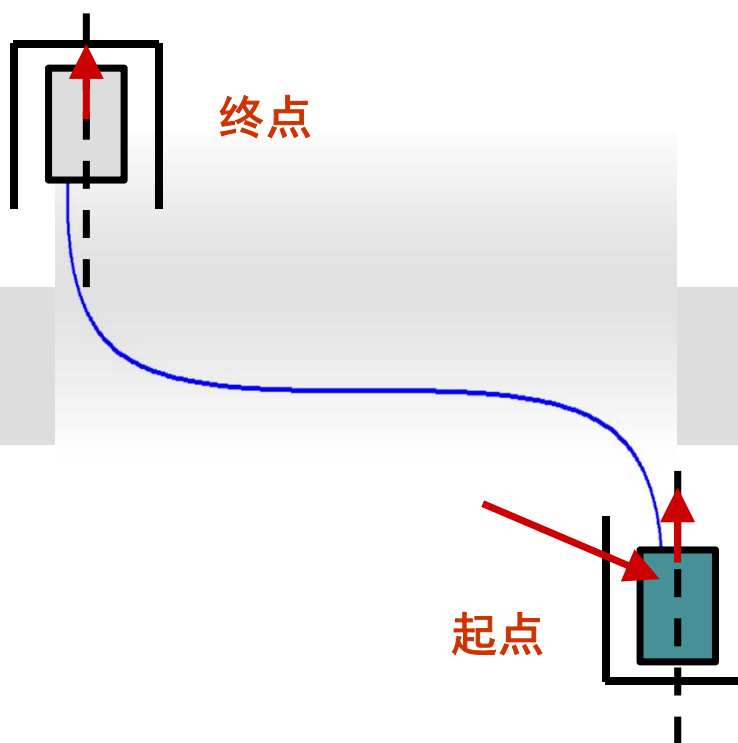
$$\theta_d = a \tan(\dot{y}_d / \dot{x}_d)$$



## 3.1 移动机器人的平面曲线规划

### 小车移库问题

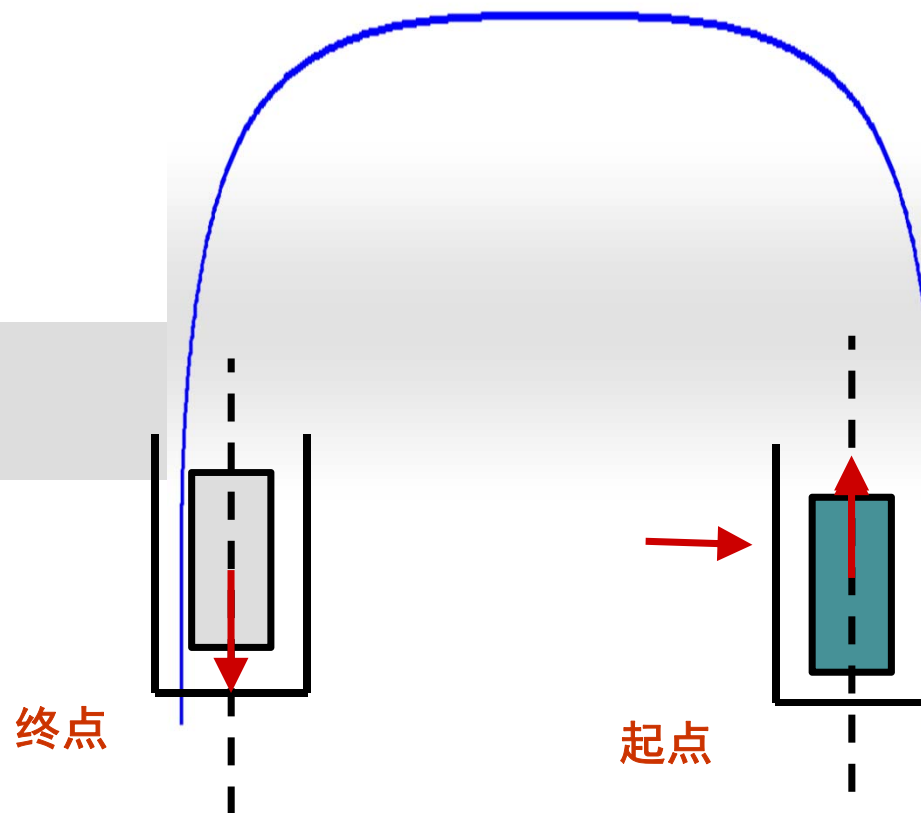
规划一条由起点出发  
到达终点的光滑曲线



## 3.1 移动机器人的平面曲线规划

### 小车移库问题

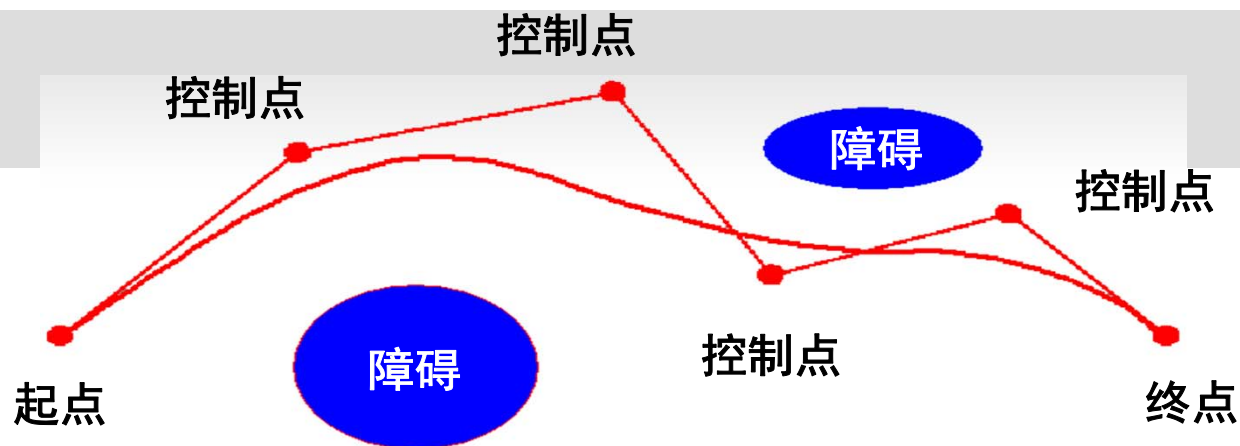
规划一条由起点出发  
到达终点的光滑曲线





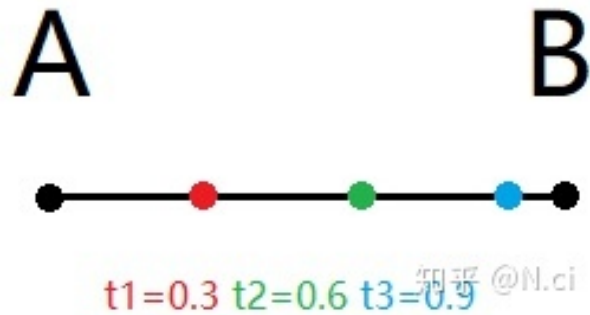
## 3.1 移动机器人的平面曲线规划

规划一条由起点到终点，合乎要求光滑曲线。给定一组控制点而得到一条曲线，曲线大致形状由这些点予以控制。一般用得多是三次B样条曲线

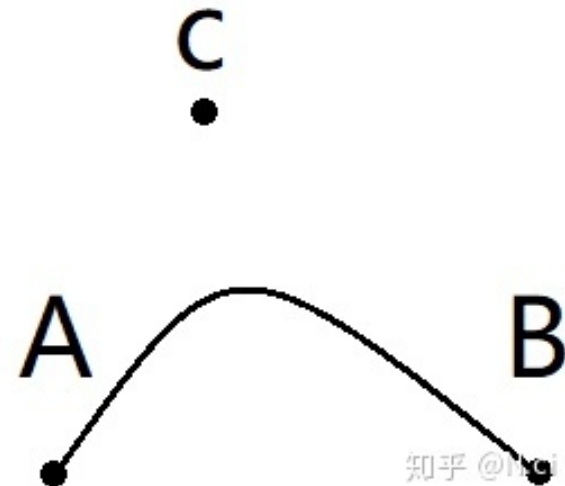


## 3.1 移动机器人的平面曲线规划

$$A*t+B*(1-t)$$



$$A*t+B*(1-t)+C*(-4t^2+4t)$$



## 3.1 移动机器人的平面曲线规划

阶数=所有权重中t值的最高次幂，一般为：阶数=生成t值所需要的控制点数-1

节点表(knot<sub>i</sub>)是生成基本函数表的关键参数，大小严格等于控制点数量+阶数+1

$$B_{i,deg}(t) = \frac{t - knot_i}{knot_{i+deg} - knot_i} B_{i,deg-1}(t) + \frac{knot_{i+deg+1} - t}{knot_{i+deg+1} - knot_{i+1}} B_{i+1,deg-1}(t)$$

$$B_{i,0} = \begin{cases} 1, & knot_i \leq t \leq knot_{i+1} \\ 0, & t < knot_i \text{ 或 } t > knot_{i+1} \end{cases}$$

B-样条曲线计算公式为：

$$C(t) = \sum_{i=0}^{n-1} B_{i,deg}(t) P_i$$

## 3.1 移动机器人的平面曲线规划

平面曲线规划，机器人位置可以用其二维组坐标(x,y)的参数方程描述。

$$P = \begin{bmatrix} x(t) \\ y(t) \end{bmatrix} = \begin{bmatrix} x(s) \\ y(s) \end{bmatrix}$$

其中参数可以是时间t，也可以是归一化路程s。

$$\theta = a \tan \left( \frac{\dot{y}(t)}{\dot{x}(t)} \right) = a \tan \left( \frac{\dot{y}(s)}{\dot{x}(s)} \right)$$

## 3.1 移动机器人的平面曲线规划

### 四个控制点的B样条曲线(1)

➤ 给定四个控制点 $[C_1, C_2, C_3, C_4]$ , 则样条曲线为 $P(s)$ , 参数 $s$ 满足 $0 \leq s \leq 1$ , 可以看成是归一化路程。

四个控制点

$$C_1 = \begin{bmatrix} x_1 \\ y_1 \end{bmatrix}, C_2 = \begin{bmatrix} x_2 \\ y_2 \end{bmatrix}, C_3 = \begin{bmatrix} x_3 \\ y_3 \end{bmatrix}, C_4 = \begin{bmatrix} x_4 \\ y_4 \end{bmatrix}$$

四个样条函数

$$f_1(s), f_2(s), f_3(s), f_4(s)$$

$$f_1(s) = \frac{1}{6}(1-s)^3$$

$$f_2(s) = \frac{1}{6}(3s^3 - 6s^2 + 4)$$

$$f_3(s) = \frac{1}{6}(-3s^3 + 3s^2 + 3s + 1)$$

$$f_4(s) = \frac{1}{6}s^3$$

## 3.1 移动机器人的平面曲线规划

### 四个控制点的B样条曲线(2)

给定四个控制点 $[C_1, C_2, C_3, C_4]$ , 则样条曲线为 $P(s)$ , 参数 $s$ 满足 $0 \leq s \leq 1$ , 可以看成是归一化的路程。

平面轨迹 ( $0 \leq s \leq 1$ )

$$P(s) = f_1(s)C_1 + f_2(s)C_2 + f_3(s)C_3 + f_4(s)C_4$$

## 3.1 移动机器人的平面曲线规划

### 四个控制点的B样条曲线(3)

**%演示四个控制点B样条曲线生成**

**%demomooc1.m**

**%四个控制点C=[C1 C2 C3 C4]**

```
C=[0 1 2 3  
    0 1 1 0];
```

**s=0:0.01:1; %归一化路程 $0 \leq s \leq 1$**

**%四个样条函数**

```
f1s=(1-s).^3/6;
```

```
f2s=(3*s.^3-6*s.^2+4)/6;
```

```
f3s=(-3*s.^3+3*s.^2+3*s+1)/6;
```

```
f4s=s.^3/6;
```

**%四个控制点的B样条曲线**

```
Ps=C(:,1)*f1s+C(:,2)*f2s+...
```

```
C(:,3)*f3s+C(:,4)*f4s;
```

**%绘制控制点及B样条曲线**

```
figure(1)
```

```
plot(C(1,:),C(2:,:), 'r*', Ps(1,:), Ps(2,:), 'b'  
);
```

```
legend('控制点','B样条曲线')
```

```
title('四个控制点及其B样条曲线')
```

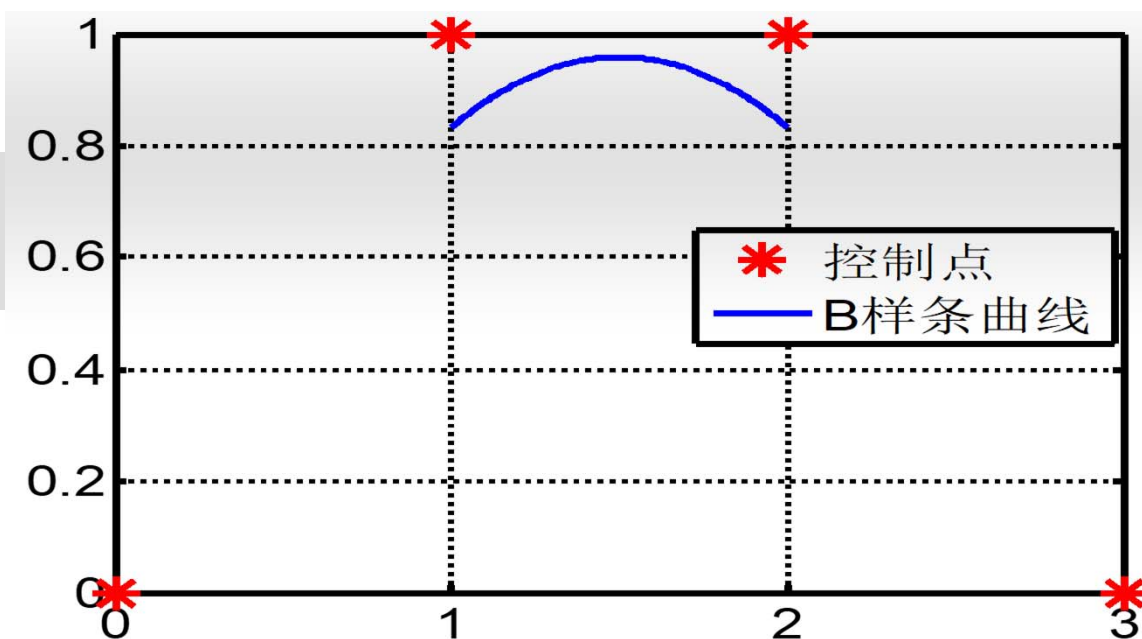
```
grid on
```



## 3.1 移动机器人的平面曲线规划

### 四个控制点的B样条曲线(4)

四个控制点的B样条曲线





## 3.1 移动机器人的平面曲线规划

### 五个控制点的B样条曲线(1)

如果给定五个控制点 $[C_1, C_2, C_3, C_4, C_5]$ ,则决定了两条样条曲线为 $P_1(s), P_2(s)$ 。

$$P_1(s) = f_1(s)C_1 + f_2(s)C_2 + f_3(s)C_3 + f_4(s)C_4 \quad (0 \leq s \leq 1)$$

$$P_2(s) = f_1(s)C_2 + f_2(s)C_3 + f_3(s)C_4 + f_4(s)C_5 \quad (0 \leq s \leq 1)$$

$$C_1 = \begin{bmatrix} x_1 \\ y_1 \end{bmatrix}, C_2 = \begin{bmatrix} x_2 \\ y_2 \end{bmatrix}, C_3 = \begin{bmatrix} x_3 \\ y_3 \end{bmatrix}, C_4 = \begin{bmatrix} x_4 \\ y_4 \end{bmatrix}, C_5 = \begin{bmatrix} x_5 \\ y_5 \end{bmatrix}$$



## 3.1 移动机器人的平面曲线规划

### 五个控制点的B样条曲线(2)

**%演示五个控制点两段B样条曲线生成**

**%demomooc2.m**

**%五个控制点C=[C1 C2 C3 C4 C5]**

C=[0 1 2 3 4  
0 1 0 1 0];

s=0:0.01:1; **%归一化路程 $0 \leq s \leq 1$**

**%四个样条函数**

f1s=(1-s).^3/6;

f2s=(3\*s.^3-6\*s.^2+4)/6;

f3s=(-3\*s.^3+3\*s.^2+3\*s+1)/6;

f4s=s.^3/6;

**%计算两段样条曲线**

P1s=C(:,1)\*f1s+C(:,2)\*f2s+C(:,3)\*f3s+C(:,4)\*f4s;

P2s=C(:,2)\*f1s+C(:,3)\*f2s+C(:,4)\*f3s+C(:,5)\*f4s;

**%绘制控制点及B样条曲线**

figure(1);

plot(C(1,:),C(2,:), 'r\*', P1s(1,:), P1s(2,:), 'b', P2s(1,:),

P2s(2,:), 'c');

legend('控制点','第一段','第二段')

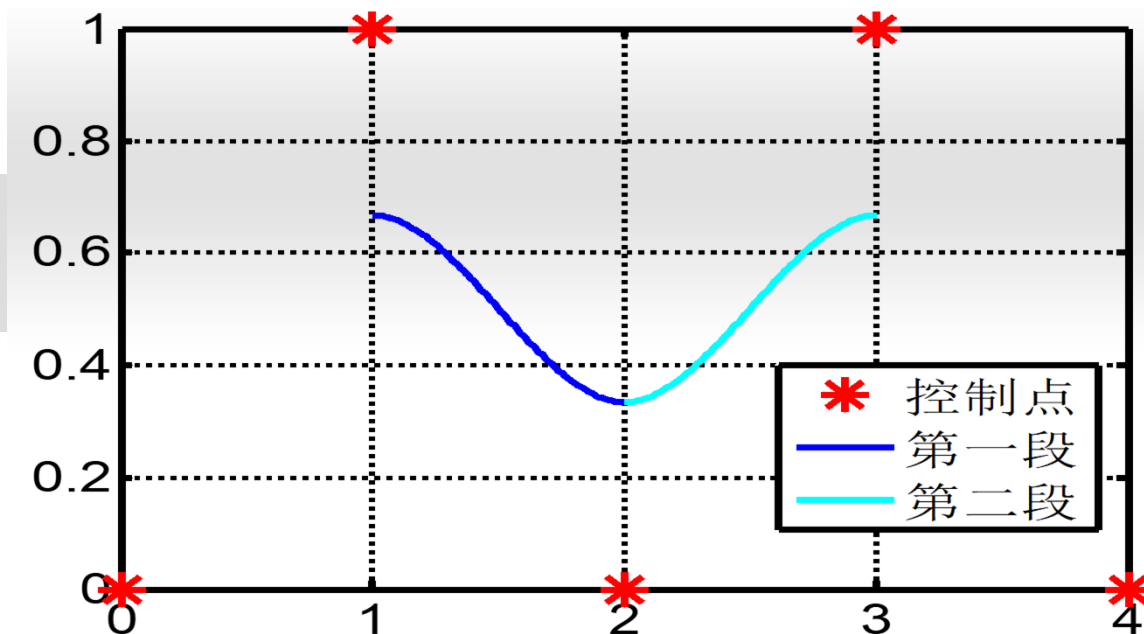
title('五个控制点及其B样条曲线')

grid on

## 3.1 移动机器人的平面曲线规划

### 五个控制点的B样条曲线(3)

五个控制点的B样条曲线



## 3.1 移动机器人的平面曲线规划

### N个控制点的B样条曲线(1)

如果给定N 个控制点 $[C_1, C_2, C_3, \dots, C_N]$ , 则决定了(N-3)条样条曲线为 $P_1(s), P_2(s), \dots, P_{(N-3)}(s)$

$$P_1(s) = f_1(s)C_1 + f_2(s)C_2 + f_3(s)C_3 + f_4(s)C_4$$

$$P_2(s) = f_1(s)C_2 + f_2(s)C_3 + f_3(s)C_4 + f_4(s)C_5$$

⋮

$$P_{N-3}(s) = f_1(s)C_{N-3} + f_2(s)C_{N-2} + f_3(s)C_{N-1} + f_4(s)C_N$$



## 3.1 移动机器人的平面曲线规划

### N个控制点的B样条曲线(2)

**%演示N个控制点B样条曲线生成**

**%demomooc3.m**

**%N个控制点C=[C1 C2 C3 C4 ... CN]**

```
C=[0    1    2   -2   -1    0  
    0  0.3  2.5   2.5  4.7   5];
```

**N=length(C); %控制点数目**

**s=0:0.01:1; %归一化路程**

**f1s=(1-s).^3/6; %四个样条函数**

**f2s=(3\*s.^3-6\*s.^2+4)/6;**

**f3s=(-3\*s.^3+3\*s.^2+3\*s+1)/6;**

**f4s=s.^3/6;**

**%绘制控制点及B样条曲线**

```
figure(1); mycolor='mbc' ;
```

```
plot(C(1,:),C(2,:), 'r*'); hold on;
```

```
for i=1:N-3
```

```
    P=C(:,i)*f1s+C(:,i+1)*f2s+...
```

```
        C(:,i+2)*f3s+C(:,i+3)*f4s;
```

```
    plot(P(1,:),P(2,:), ...
```

```
        mycolor(mod(i,3)+1));
```

```
end
```

```
title('N个控制点及其B样条曲线')
```

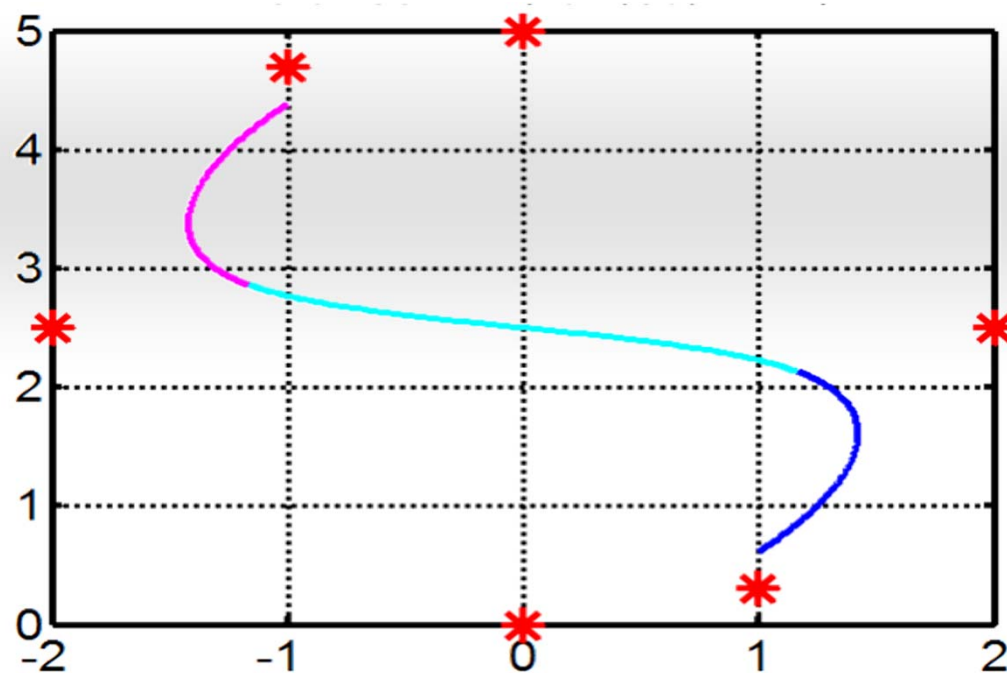
```
grid on;
```



## 3.1 移动机器人的平面曲线规划

### N个控制点的B样条曲线(3)

N个控制点的B样条曲线



## 3.1 移动机器人的平面曲线规划-过起始点的规划

### B样条曲线的速度和加速度

$$P(s) = \begin{bmatrix} x(s) \\ y(s) \end{bmatrix}$$

$$V(s) = \frac{\partial P(s)}{\partial s} = \begin{bmatrix} v_x(s) \\ v_y(s) \end{bmatrix}$$

$$A(s) = \frac{\partial^2 P(s)}{\partial s^2} = \begin{bmatrix} a_x(s) \\ a_y(s) \end{bmatrix}$$

#### 样条函数的微分

$$f_1(s) = (1-s)^3 / 6$$

$$f_2(s) = (3s^3 - 6s^2 + 4) / 6$$

$$f_3(s) = (-3s^3 + 3s^2 + 3s + 1) / 6$$

$$f_4(s) = s^3 / 6$$

$$v_1(s) = -(1-s)^2 / 2$$

$$v_2(s) = (3s^2 / 3 - 2s)$$

$$v_3(s) = -3s^2 / 3 + s + 1/2$$

$$v_4(s) = s^2 / 2$$

$$a_1(s) = 1 - s$$

$$a_2(s) = 3s - 2$$

$$a_3(s) = 1 - 3s$$

$$a_4(s) = s$$



## 3.1 移动机器人的平面曲线规划-过起始点的规划

### B样条曲线的速度和加速度

! B样条曲线 $P(s)$ 的速度和加速度也是参数 $s$ 函数

$$P(s) = f_1(s)C_1 + f_2(s)C_2 + f_3(s)C_3 + f_4(s)C_4$$

$$V(s) = v_1(s)C_1 + v_2(s)C_2 + v_3(s)C_3 + v_4(s)C_4$$

$$A(s) = a_1(s)C_1 + a_2(s)C_2 + a_3(s)C_3 + a_4(s)C_4$$



## 3.1 移动机器人的平面曲线规划-过起始点的规划

### ➤ B样条曲线连接点光滑性

任意前后两段B样条曲线的连接点是光滑连续的

$$P_1(s) = f_1(s)C_1 + f_2(s)C_2 + f_3(s)C_3 + f_4(s)C_4$$

$$P_2(s) = f_1(s)C_2 + f_2(s)C_3 + f_3(s)C_4 + f_4(s)C_5$$

## 3.1 移动机器人的平面曲线规划-过起始点的规划

### ➤ B样条曲线连接点光滑性

前一段曲线终点与后一段曲线起点，在位置、速度和加速度上连续

$$P_1(1) = P_2(0) = 1/6 * C_2 + 2/3 * C_3 + 1/6 * C_4$$

$$V_1(1) = V_2(0) = -1/2 * C_2 + 1/2 * C_4$$

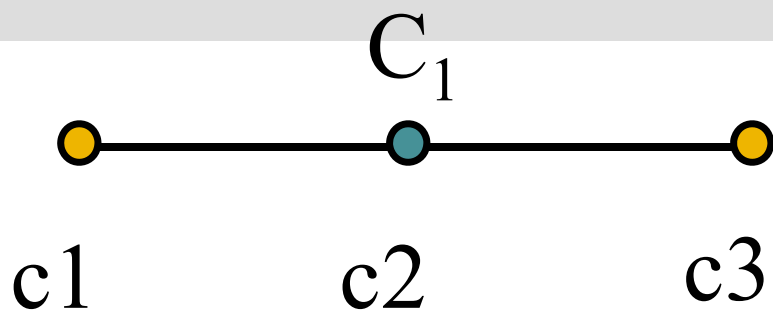
$$A_1(1) = A_2(0) = C_2 - 2 * C_3 + C_4$$

## 3.1 移动机器人的平面曲线规划-过起始点的规划

### 过起点的B样条曲线(1)

给定控制点 $[C_1, C_2, \dots, C_N]$ , 如何保证 $P(s)$ 过起点 $C_1$ ?

- 通过增加额外控制点来保证 $P(s)$ 过起点 $C_1$



$$c_1 = C_1 - V_1 * L$$

$$c_2 = C_1$$

$$c_3 = C_1 + V_1 * L$$

$V_1$ 表示小车过 $C_1$ 速度方向的单位向量

$L$ 为合适正常数, 可以取小车车长一半

## 3.1 移动机器人的平面曲线规划-过起始点的规划

### 过起点的B样条曲线(2)

➤ 给定控制点 $[c_1, c_2, \dots, c_n]$ , 样条曲线起点

$$\begin{aligned} P_1(0) &= 1/6 * c_1 + 2/3 * c_2 + 1/6 * c_3 & c_1 &= C_1 - V_1 * L & P_1(0) &= C_1 \\ V_1(0) &= -1/2 * c_1 + 1/2 * c_3 & c_2 &= C_1 & V_1(0) &= V_1 \\ A_1(0) &= c_1 - 2 * c_2 + c_3 & c_3 &= C_1 + V_1 * L & A_1(0) &= 0 \end{aligned}$$

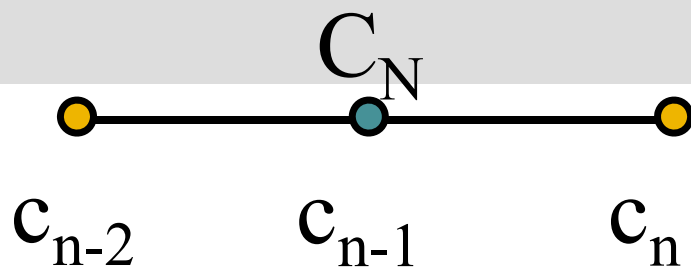
过起点为  
 $C_1$ , 速度  
方向为 $V_1$

## 3.1 移动机器人的平面曲线规划-过起始点的规划

### 过终点的B样条曲线(1)

给定控制点 $[C_1, C_2, \dots, C_N]$ , 如何保证 $P(s)$ 过终点 $C_N$ ?

通过增加额外控制点来保证 $P(s)$ 过终点 $C_N$



$$C_{n-2} = C_N - V_N * L$$

$$C_{n-1} = C_N$$

$$C_n = C_N + V_N * L$$

## 3.1 移动机器人的平面曲线规划-过起始点的规划

### 过终点的B样条曲线(2)

给定控制点 $[c_1, c_2, \dots, c_n]$ , 样条曲线起点

$$\begin{array}{lll} P_{n-3}(1) = 1/6 * C_{n-2} + 2/3 * C_{n-1} + 1/6 * C_n & c_{n-2} = C_N - V_N * L & P_{n-3}(1) = C_N \\ V_{n-3}(1) = -1/2 * C_{n-2} + 1/2 * C_n & c_{n-1} = C_N & V_{n-3}(1) = V_N \\ A_{n-3}(1) = C_{n-2} - 2 * C_{n-1} + C_n & c_n = C_N + V_N * L & A_{n-3}(1) = 0 \end{array}$$

过终点 $C_N$ ,  
速度方向为 $V_N$

## 3.1 移动机器人的平面曲线规划-过起始点的规划

### 过起点和终点的B样条曲线(1)

➤ 给定初始N个控制点 $[C_1, C_2, \dots, C_N]$ , 如何保证过起点和终点?

通过增加额外控制点来保证过起点 $C_1$ 和终点 $C_N$

➤ 原来的控制点:

$$C = [C_1, C_2, \dots, C_{N-1}, C_N]$$

➤ 增广后的控制点:

$V_1$ 为 $C_1$ 速度方向,  $V_N$ 为 $C_N$ 速度方向

$$RC = [C_1 - V_1 * L, C_1 + V_1 * L, C_2, \dots, C_{N-1}, C_N - V_N * L, C_N + V_N * L]$$

## 3.1 移动机器人的平面曲线规划-过起始点的规划

### 过起点和终点的B样条曲线(2)

%演示N个控制点B样条曲线生成

demomooc4.m

%N个控制点C=[C1 C2 C3 C4 ... CN]

```
C=[0 1 2 -2 -1 0  
0 0.3 2.5 2.5 4.7 5];
```

V1=[1;0]; %起点C1出发速度方向V1,

V2=[1;0]; %到终点CN速度方向V2,

L=0.254/2; %2L为小车长度

NC=length(C); %原始控制点数

%增加控制点保证过起点和终点, 起点速度方向V1, 终点速度方向V2

```
RC=[C(:,1)-V1*L,C(:,1),C(:,1)+V1*L,C(:,2:NC-1), ...
```

```
C(:,NC)-V2*L,C(:,NC),C(:,NC)+V2*L];
```

```
N=length(RC);
```

数目

```
s=0:0.01:1;
```

```
f1s=(1-s).^3/6;
```

```
f2s=(3*s.^3-6*s.^2+4)/6;
```

```
f3s=(-3*s.^3+3*s.^2+3*s+1)/6;
```

```
f4s=s.^3/6;
```

%控制点扩充后的控制点

%归一化路程

%四个样条函数f1(s)

%f2(s)

%f3(s)

%f4(s)





## 3.1 移动机器人的平面曲线规划-过起始点的规划

### 过起点和终点的B样条曲线(2)

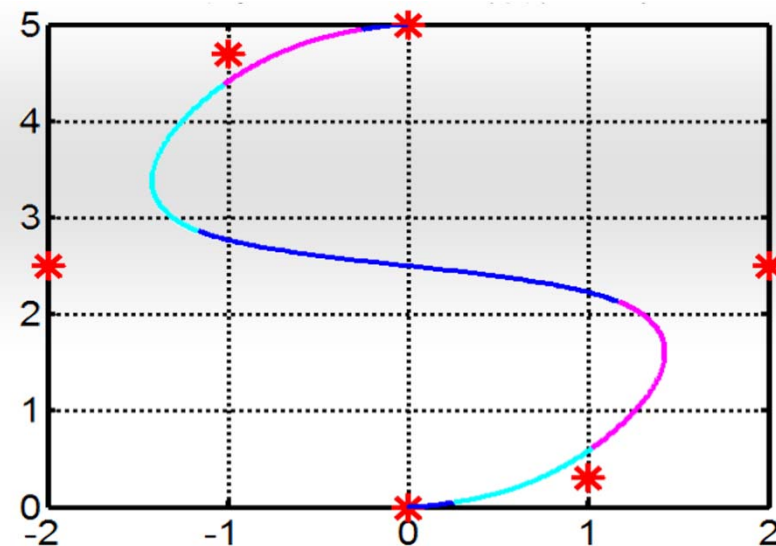
! %绘制过起点和终点B样条曲线

```
figure(1); mycolor='mbc' ;  
plot(RC(1,:),RC(2,:),'r*');  
hold on; for i=1:N-3
```

```
P=RC(:,i)*f1s+RC(:,i+1)*f2s+RC(:,i+2)*f3s+RC(:,i+  
3)*f4s;
```

```
    plot(P(1,:),P(2,:),mycolor(mod(i,3)+1));  
end
```

```
title('过起点和终点的B样条曲线');  
grid on;
```



## 3.1 移动机器人的平面曲线规划-过起始点的规划

### 过任意控制点的B样条曲线

给定N个控制点 $[C_1, C_2, \dots, C_N]$ , 如何保证过中间的某个控制点 $C_k$ ?

➤! 原来的控制点:  $C = [C_1, \dots, C_{k-1}, C_k, C_{k+1}, \dots, C_N]$

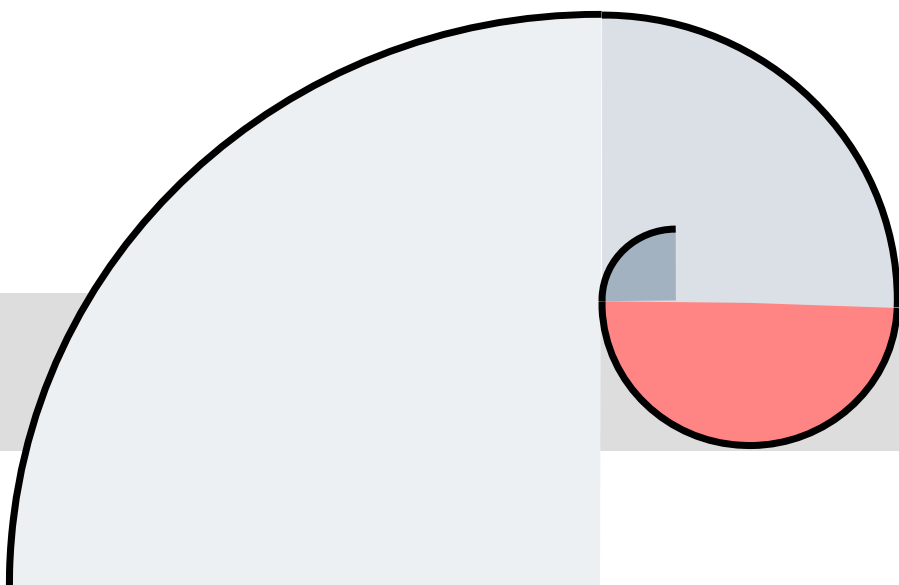
➤! 增广后的控制点:

$$RC = [C_1, \dots, C_{k-1}, C_k - V_k * L, C_k, C_k + V_k * L, C_{k+1}, \dots, C_N]$$

$V_k$ 为过 $C_k$ 时的速度方向单位向量

## 3.1 移动机器人的平面曲线规划-B样条曲线曲率

---



思考：这样曲线适合作为小车曲线规划吗？

## 3.1 移动机器人的平面曲线规划-B样条曲线曲率

### ➤ 轨迹曲线的曲率(1)

- 曲线曲率K是曲线弯曲程度一种度量,曲率K越大曲线越弯曲,小车跟踪更为困难...

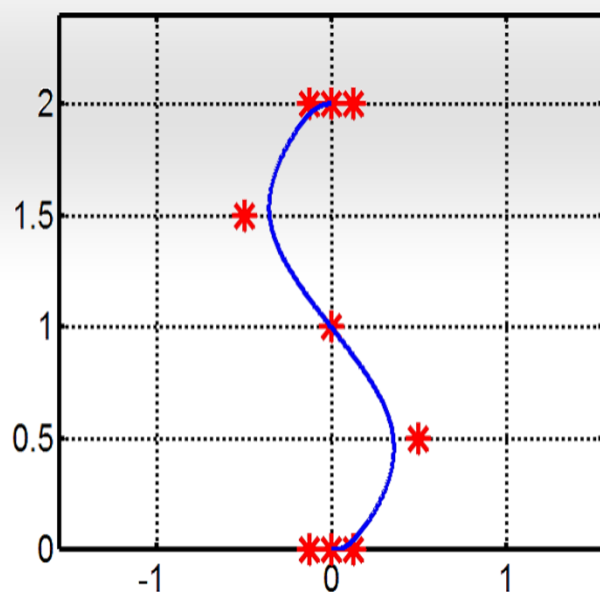
$$K = \frac{1}{R} = \frac{\dot{x}(t)\ddot{y}(t) - \ddot{x}(t)\dot{y}(t)}{\left(\sqrt{\dot{x}(t)^2 + \dot{y}(t)^2}\right)^3} = \frac{\dot{x}(s)\ddot{y}(s) - \ddot{x}(s)\dot{y}(s)}{\left(\sqrt{\dot{x}(s)^2 + \dot{y}(s)^2}\right)^3}$$

曲线曲率K评价轨迹曲线的好坏!

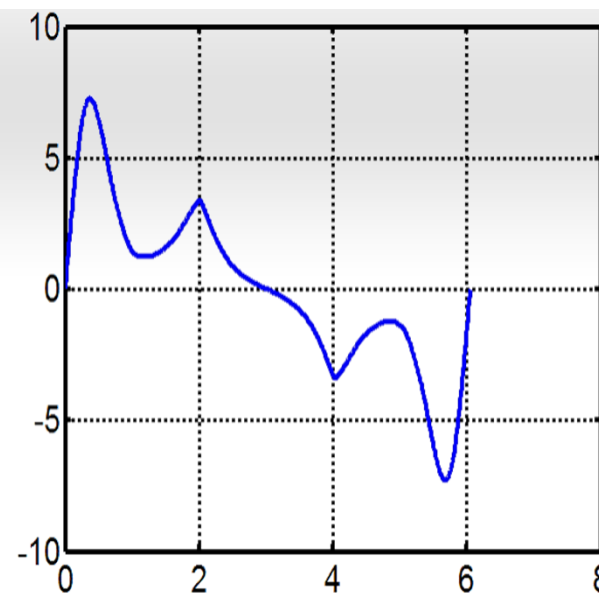
## 3.1 移动机器人的平面曲线规划-B样条曲线曲率

### ➤ 轨迹曲线的曲率(2)

N个控制点  
及其B样条曲线



B样条曲线的  
曲率 $K=1/R$



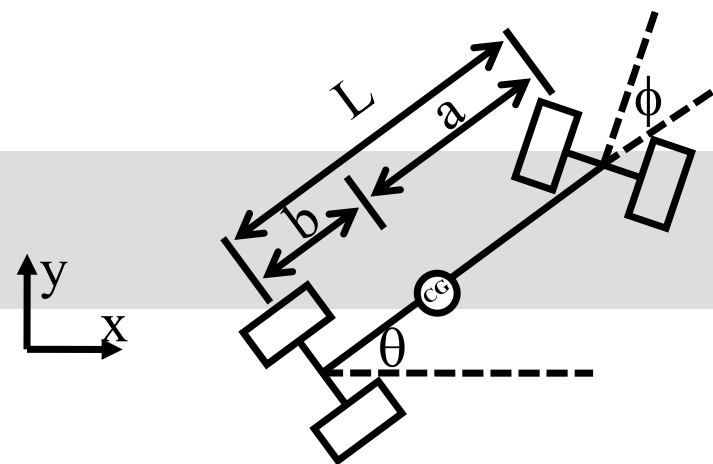
## 3.1 移动机器人的平面曲线规划-B样条曲线曲率

### ➤ 轨迹曲线的曲率(3)

➤ 例如车长为L的Car-Like小车，其最大转向曲率小于

$$\kappa \leq \frac{\tan \phi_{\max}}{L}$$

$\phi_{\max}$  前轮的最大转向角



轨迹曲率越大，表示小车轨迹越弯曲，跟踪更为困难...

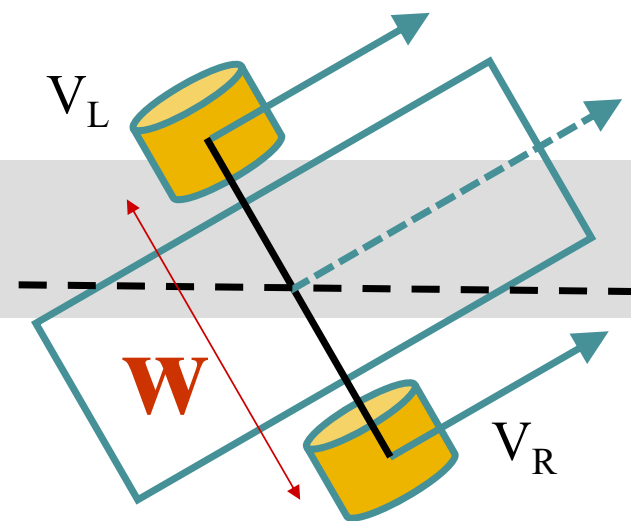
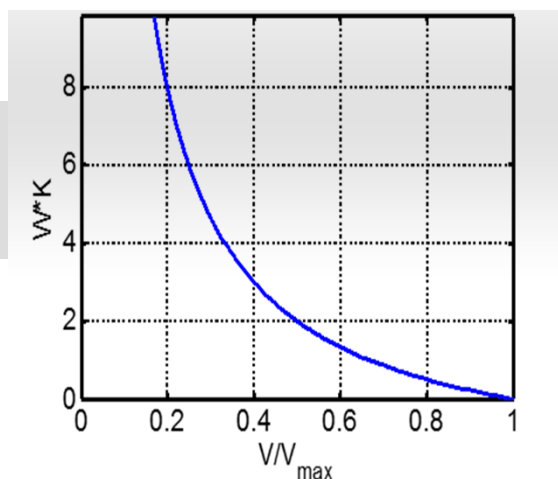
## 3.1 移动机器人的平面曲线规划-B样条曲线曲率

### ➤ 轨迹曲线的曲率(4)

➤ 例如车宽为W的Tank-Like小车，其最大转向曲率为

指定速度V下的转向曲率

$$\kappa \leq \frac{2}{W} \left[ \frac{V_{\max}}{V} - 1 \right]$$

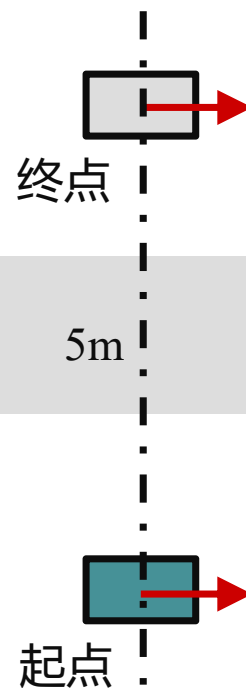


轨迹曲率越大，表示小车轨迹越弯曲，跟踪更为困难...

## 3.1 移动机器人的平面曲线规划-B样条曲线曲率

### ▶ 演示控制点与曲线生成(1)

小车移库问题  
demomooc5.m

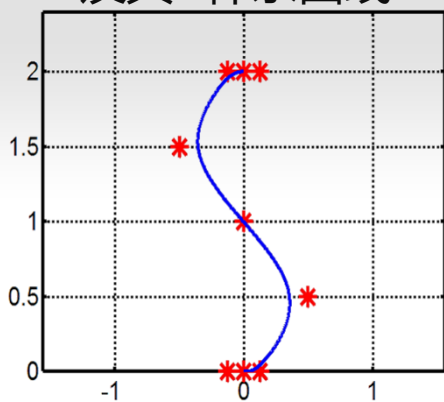




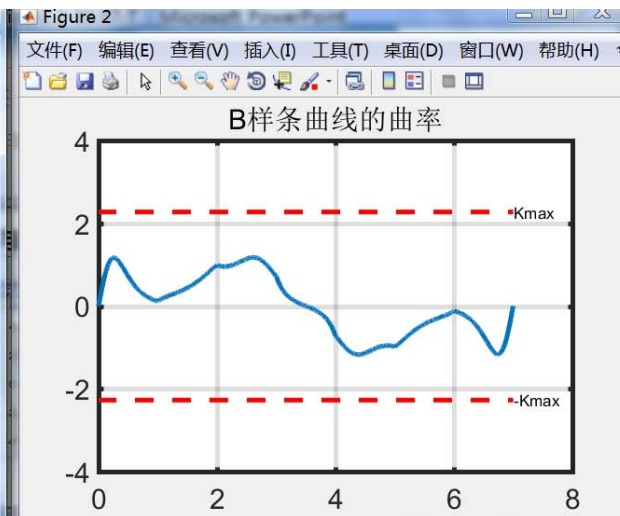
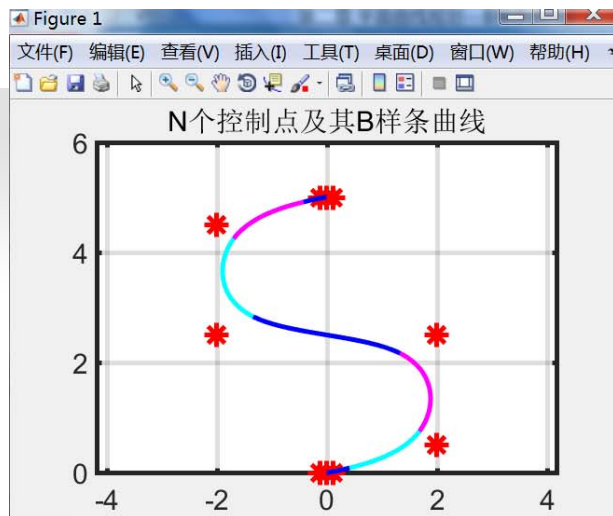
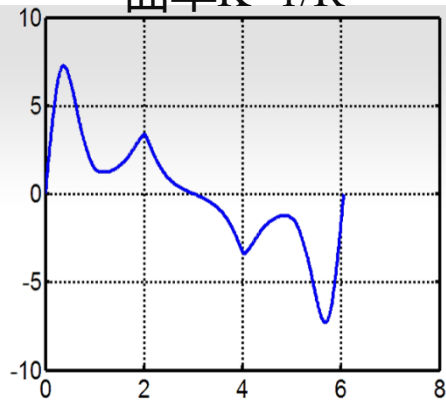
## 3.1 移动机器人的平面曲线规划-B样条曲线曲率

### 演示控制点与曲线生成(2)

N个控制点  
及其B样条曲线



B样条曲线的  
曲率 $K=1/R$



## 3.1 移动机器人的平面曲线规划-B样条曲线曲率

### 参数s与参数时间t的关系(1)

前面小车平面轨迹我们都是用参数s计算的。

但小车平面轨迹用时间参数t描述，更符合习惯

其速度为：

$$P(s) = \begin{bmatrix} x(s) \\ y(s) \end{bmatrix} = P(t) = \begin{bmatrix} x(t) \\ y(t) \end{bmatrix} \quad \frac{dP(t)}{dt} = \frac{\partial P(s)}{\partial s} \dot{s} \Rightarrow \begin{bmatrix} v_x(t) \\ v_y(t) \end{bmatrix} = \begin{bmatrix} v_x(s) \\ v_y(s) \end{bmatrix} \dot{s}(t)$$

$$V(t) = V(s) \dot{s}$$



例如我们可以通过设定期望小车速度 $|V(t)| = \text{常值}$ ，更容易刻画小车**沿轨迹曲线匀速运动特性**

## 3.1 移动机器人的平面曲线规划-B样条曲线曲率

### 参数s与参数时间t的关系(2)

小车速度用参数t和用参数s描述，有

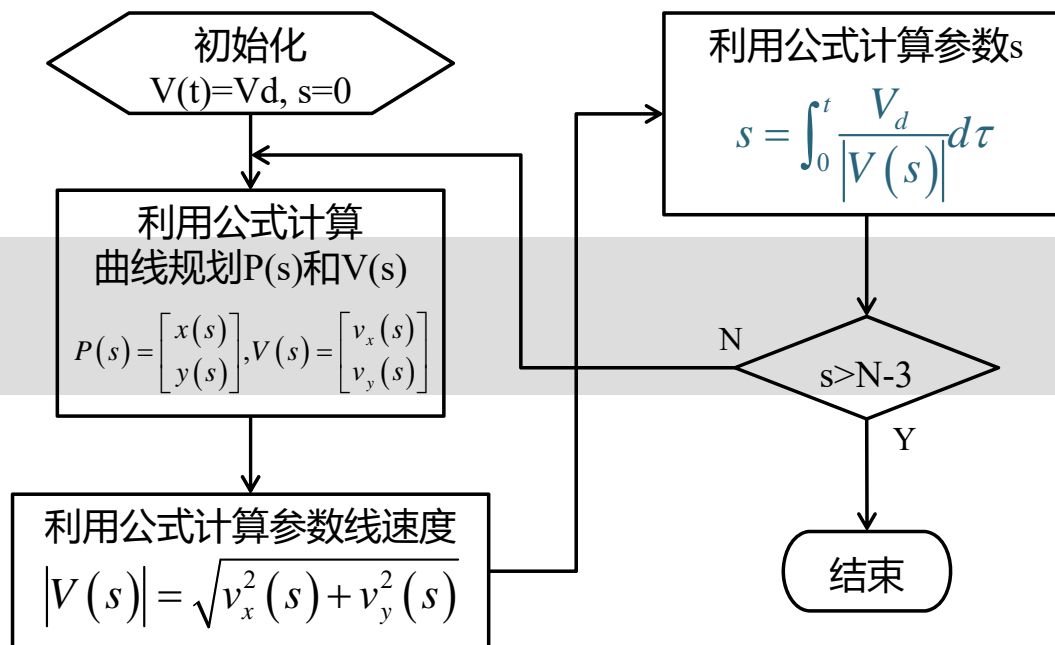
$$|V(t)| = \sqrt{v_x^2(t) + v_y^2(t)} \quad |V(s)| = \sqrt{v_x^2(s) + v_y^2(s)}$$

显然：  $|V(t)| = |V(s)| \dot{s}(t)$

则可以通过下式计算参数s  $s = \int_0^t \frac{|V(\tau)|}{|V(s)|} d\tau$

## 3.1 移动机器人的平面曲线规划-B样条曲线曲率

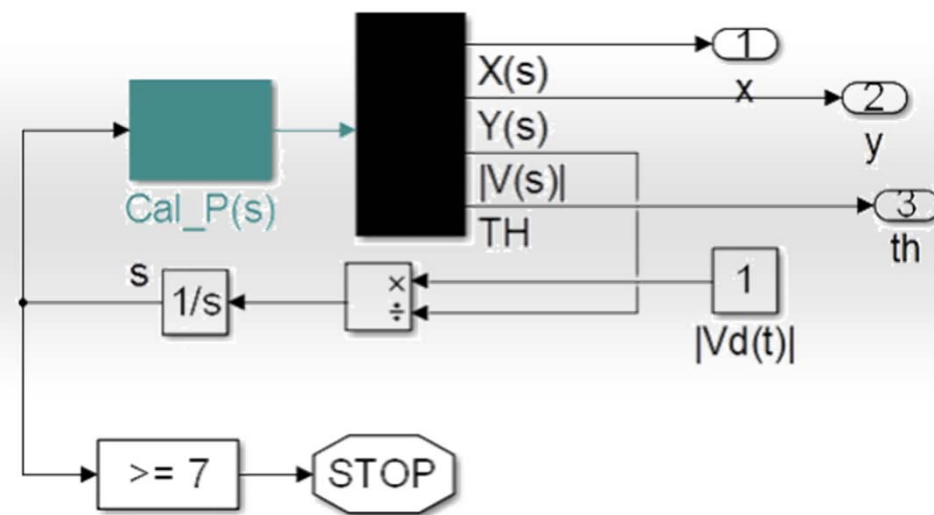
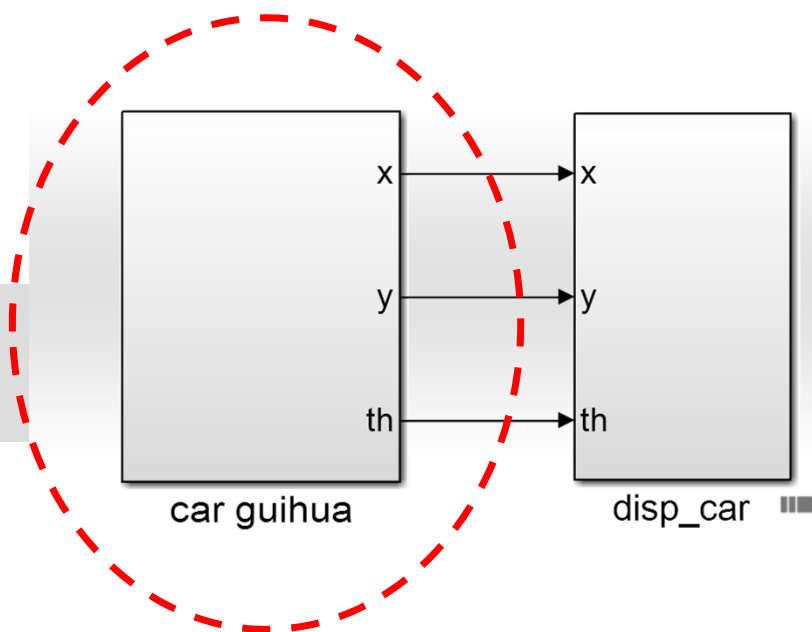
### 参数s与参数时间t的关系(3)



## 3.1 移动机器人的平面曲线规划-B样条曲线曲率



### 编制小车曲线规划Simulink模块(1)



小车曲线规划模块

## 3.1 移动机器人的平面曲线规划-B样条曲线曲率



### 编制小车曲线规划Simulink模块(2)

```
function P=cal_P(s)
```

```
%输入s: B样条曲线参数s
```

```
%输出P:[x(s);y(s);|V(s)|;theta(s)]
```

```
C=[0    2    2   -2   -2    0 %原始控制点  
    0   0.5   2.5   2.5   4.5   5];
```

```
V1=[1;0]; V2=[1;0]; L=0.254; %起点终点速度方向
```

```
NC=length(C);
```

```
%增加控制点, 保证过起点和终点
```

```
RC=[C(:,1)-V1*L,C(:,1),C(:,1)+V1*L,C(:,2:NC-1),C(:,NC)-  
V2*L,C(:,NC),C(:,NC)+V2*L];
```

```
N=length(RC);
```

```
OUT=0;
```

```
if(s>=N-3)
```

```
    I=N-4;
```

```
    OUT=1;
```

```
    dt=s-(N-3);
```

```
    s=1;
```

```
else
```

```
    I=fix(s);
```

```
    s=mod(s,1);
```

```
end
```



## 3.1 移动机器人的平面曲线规划-B样条曲线曲率

### ➤ 编制小车曲线规划Simulink模块(3)

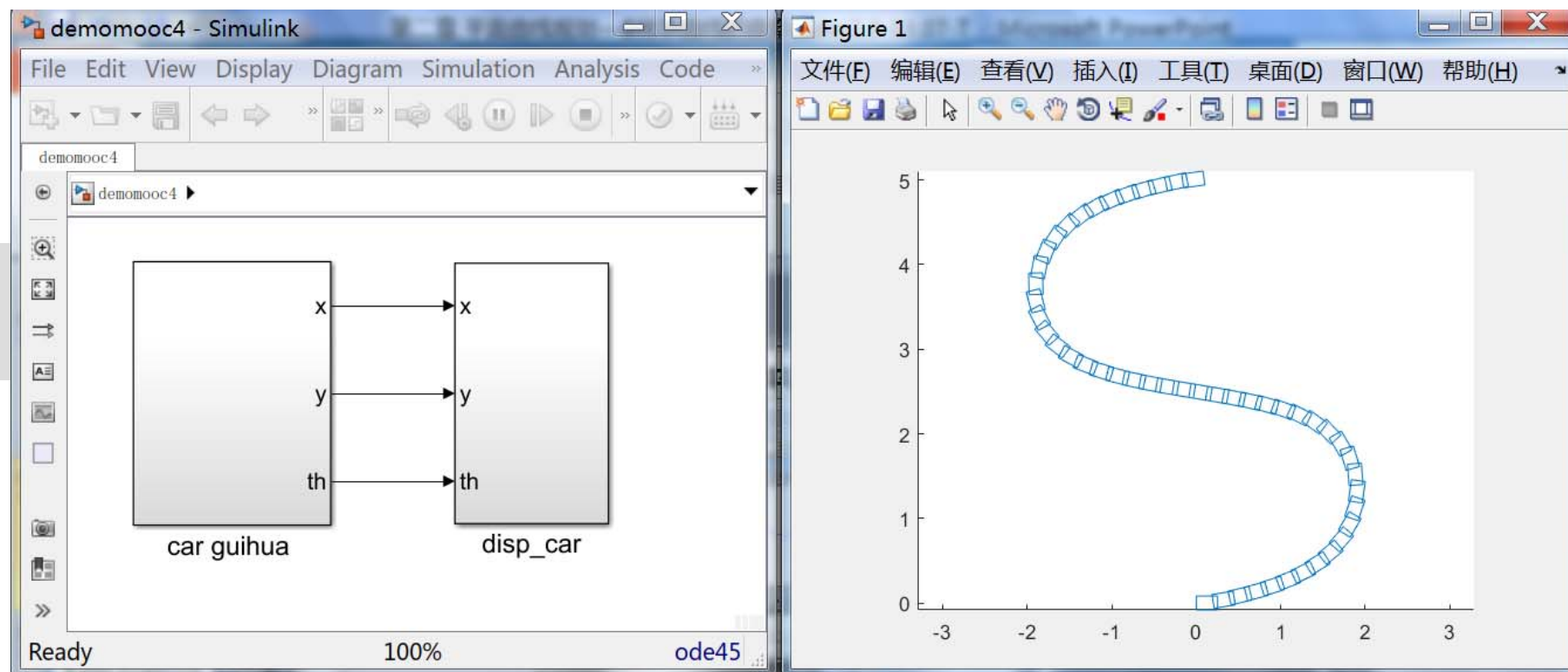
```
f1=(1-s).^3/6;  
f2=(3*s.^3-6*s.^2+4)/6;  
f3=(-3*s.^3+3*s.^2+3*s+1)/6;  
f4=s.^3/6;  
d1 =-1/2*(1-s)^2;  
d2 =3/2*s^2-2*s;  
d3 =-3/2*s^2+s+1/2;  
d4 =1/2*s^2;  
a1 = 1-s;  
a2 = 3*s-2;  
a3 = -3*s+1;  
a4 = s;  
% 2021/6/1
```

```
P(:,1)=f1*RC(:,I+1)+f2*RC(:,I+2)+f3*RC(:,I+3)+f4*RC(:,I+4);  
V(:,1)=d1*RC(:,I+1)+d2*RC(:,I+2)+d3*RC(:,I+3)+d4*RC(:,I+4);  
A(:,1)=a1*RC(:,I+1)+a2*RC(:,I+2)+a3*RC(:,I+3)+a4*RC(:,I+4);  
vv=sqrt(V(1,1)^2+V(2,1)^2);  
angle=atan2(V(2,1),V(1,1));  
if(OUT==1)  
    P=P+V*dt;  
end  
P=[P;vv;angle];
```



## 3.1 移动机器人的平面曲线规划-B样条曲线曲率

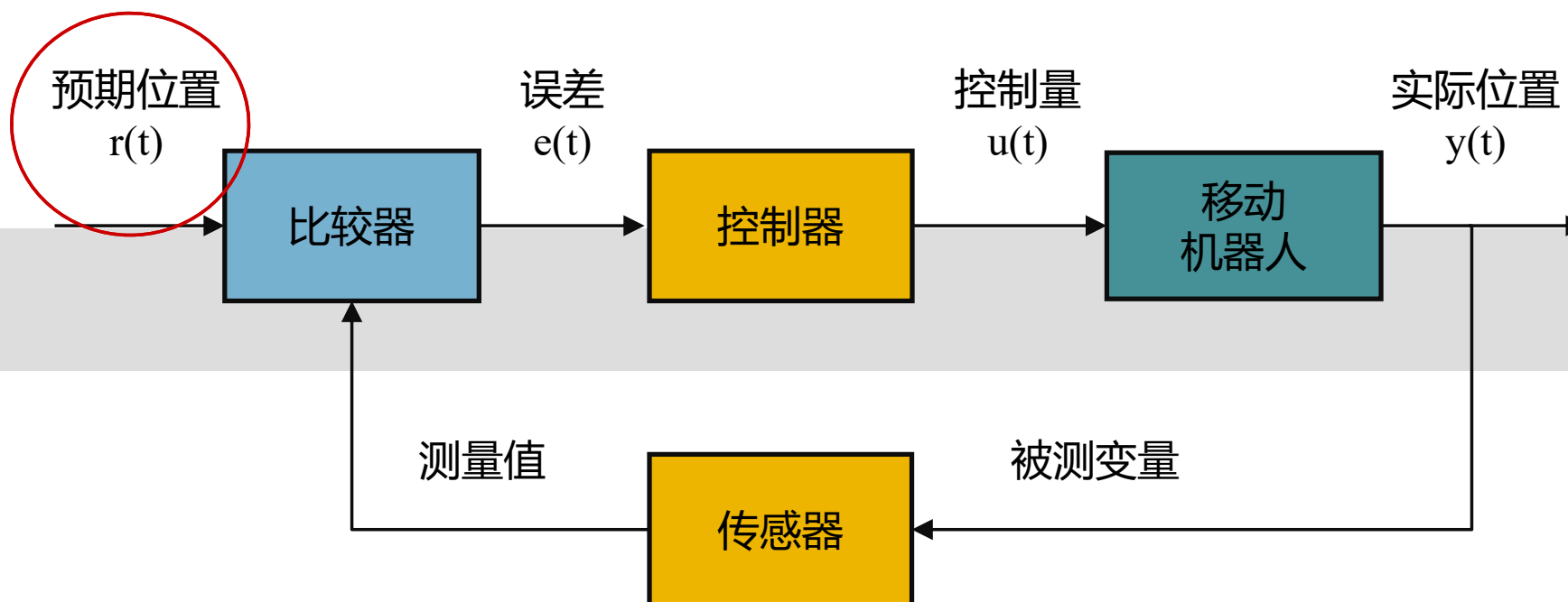
### ➤ 编制小车曲线规划Simulink模块(4)





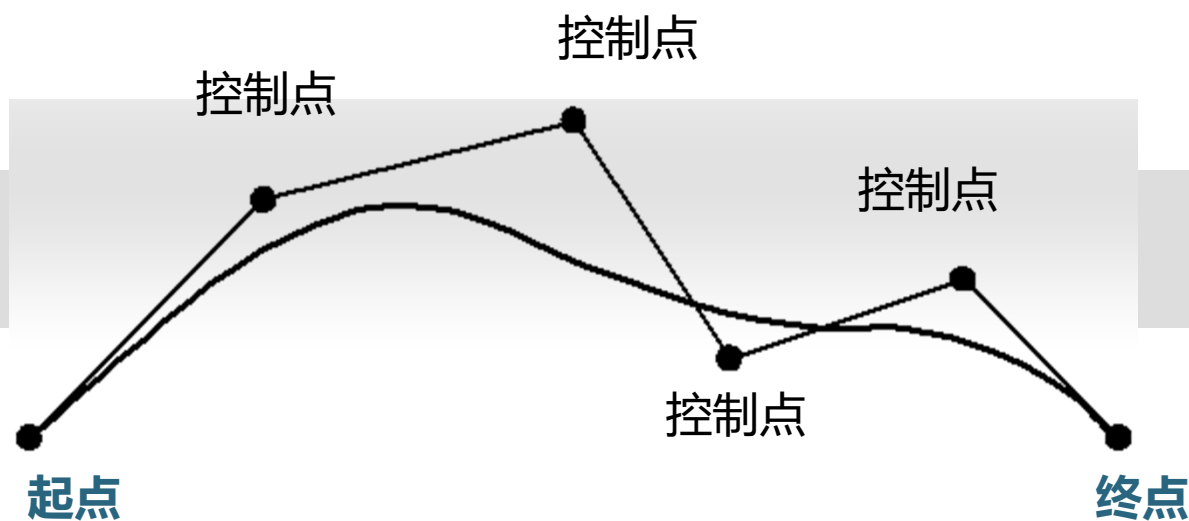
## 3.1 移动机器人的平面曲线规划-小结

### ➤ 移动机器人平面曲线规划总结(1)



## 3.1 移动机器人的平面曲线规划-小结

### ➤ 移动机器人平面曲线规划总结(2)



$$(x_d, y_d, \theta_d)$$

$$\theta_d = a \tan \left( \frac{\dot{y}_d}{\dot{x}_d} \right)$$

## 3.1 移动机器人的平面曲线规划-小结

### ➤ 移动机器人平面曲线规划总结(3)

#### ➤ (1) 曲线曲率

$$K = \frac{\dot{x}(t)\ddot{y}(t) - \ddot{x}(t)\dot{y}(t)}{\left(\sqrt{\dot{x}(t)^2 + \dot{y}(t)^2}\right)^3} = \frac{\dot{x}(s)\ddot{y}(s) - \ddot{x}(s)\dot{y}(s)}{\left(\sqrt{\dot{x}(s)^2 + \dot{y}(s)^2}\right)^3} \leq K_{\max}$$

#### ➤ (2) 参数s计算

$$s = \int_0^t \frac{v(\tau)}{v(s)} d\tau \quad 0 \leq s \leq N-3$$

# 本章大纲

---

移动机器人的平面曲线规划

移动机器人运动学模型

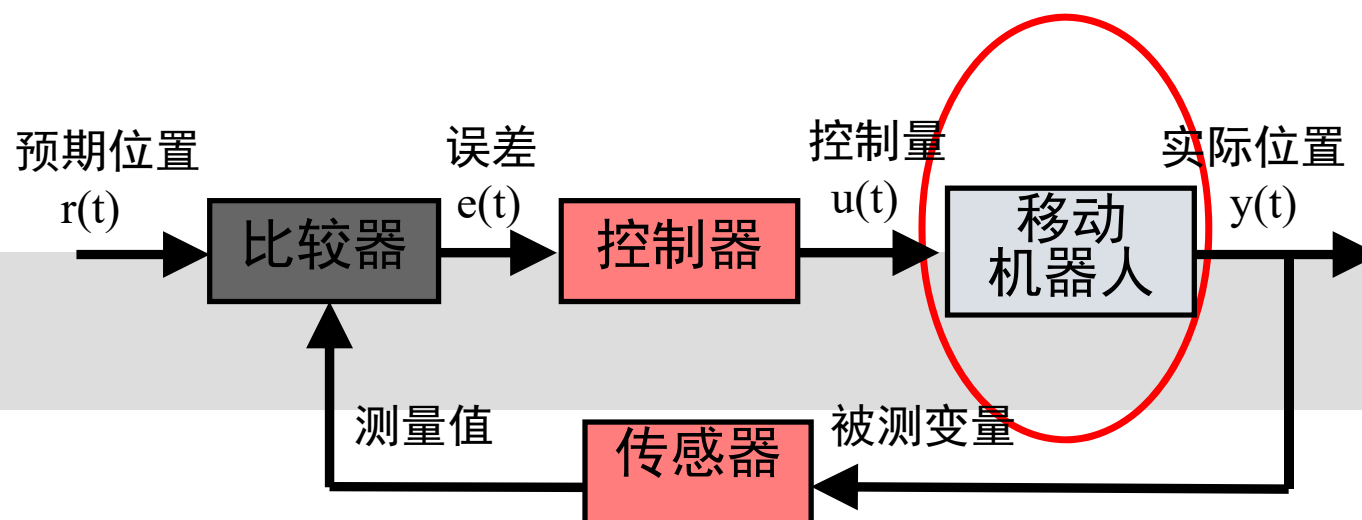
移动机器人动力学模型

移动机器人曲线跟踪与误差控制



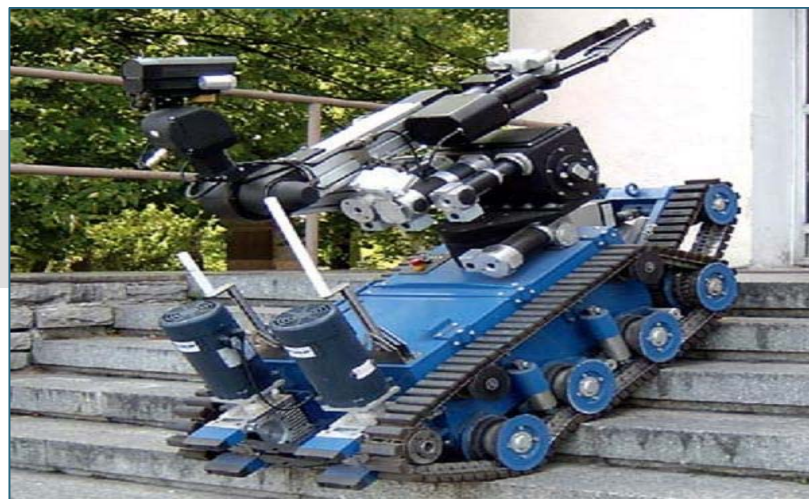
## 3.2 移动机器人运动学模型

### ➤ 移动机器人运动学模型



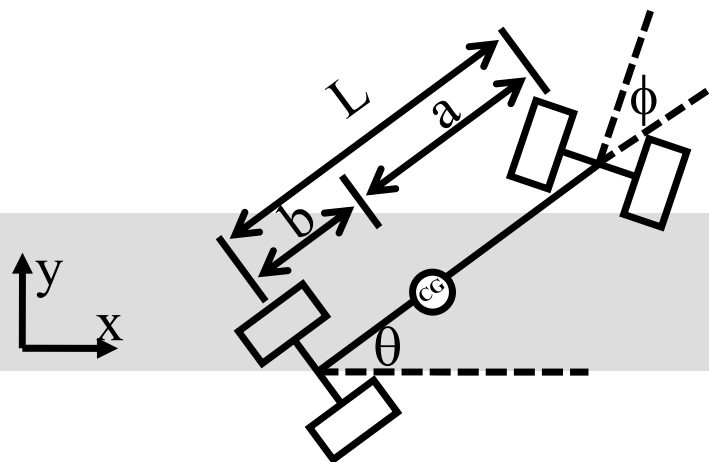
## 3.2 移动机器人运动学模型

### ➤ 移动机器人运动学模型



## 3.2.1 移动机器人运动学模型-基于Car-like小车

### ➤ Car-Like小车运动学模型



基于小车几何结构参数，分析推理出小车独特的运动特性——运动学(Kinematics)方程

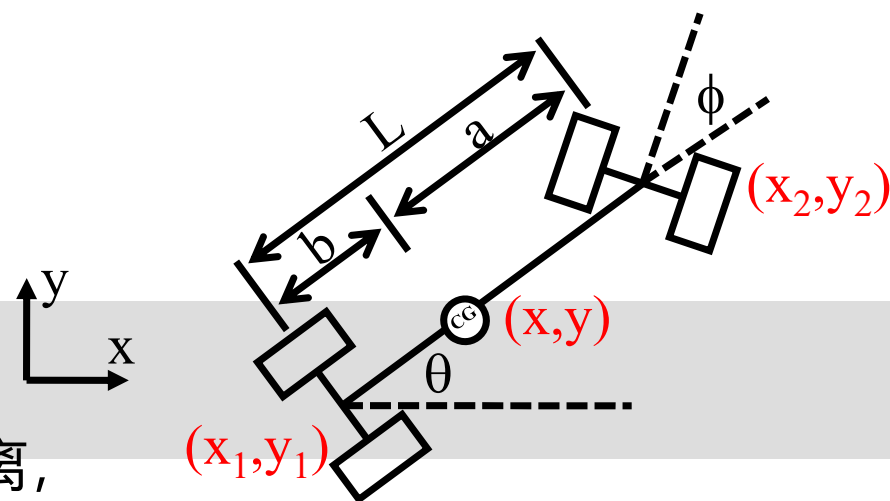
## 3.2.1 移动机器人运动学模型-基于Car-like小车

### Car-Like小车几何结构参数

- 定义后轮中心到前轮中心的轴线为小车中轴线，其与x轴的夹角为 $\theta$ (方位角)，这里假设重心CG在中轴线上；小车前轮方向与小车中轴线的夹角为 $\phi$ (转向角)。

$a$ 为重心到前轮中心距离， $b$ 为重心到后轮中心距离， $L$ 为前轮中心与后轮中心的距离，显然 $L=a+b$

- 设小车重心坐标为 $(x,y)$ ，则后轮中心坐标为 $(x_1,y_1)$ ，前轮中心坐标为 $(x_2,y_2)$





## 3.2.1 移动机器人运动学模型-基于Car-like小车

### Car-Like小车运动关系分析(1)

后轮位置关系:

$$x_1 = x - b * \cos \theta$$

$$y_1 = y - b * \sin \theta$$

轮子运动特性, 后轮没有侧滑

$$\frac{\dot{y}_1}{\dot{x}_1} = \frac{\sin \theta}{\cos \theta}$$

$$\frac{\dot{y} - b * \dot{\theta} * \cos \theta}{\dot{x} + b * \dot{\theta} * \sin \theta} = \frac{\sin \theta}{\cos \theta}$$

后轮速度关系:

$$\dot{x}_1 = \dot{x} + b * \dot{\theta} * \sin \theta$$

$$\dot{y}_1 = \dot{y} - b * \dot{\theta} * \cos \theta$$

推理出重心运动约束公式3.1

$$\dot{x} \sin \theta - \dot{y} \cos \theta + b * \dot{\theta} = 0 \quad 3.1$$

## 3.2.1 移动机器人运动学模型-基于Car-like小车

### Car-Like小车运动关系分析(2)

前轮位置关系:

$$x_2 = x + a * \cos \theta$$

$$y_2 = y + a * \sin \theta$$

前轮速度关系:

$$\dot{x}_2 = \dot{x} - a * \dot{\theta} * \sin \theta$$

$$\dot{y}_2 = \dot{y} + a * \dot{\theta} * \cos \theta$$

轮子运动特性, 前轮没有侧滑

$$\frac{\dot{y}_2}{\dot{x}_2} = \frac{\sin(\theta + \phi)}{\cos(\theta + \phi)}$$

$$\dot{x}_2 = \dot{x} - a * \dot{\theta} * \sin \theta$$

$$\dot{y}_2 = \dot{y} + a * \dot{\theta} * \cos \theta$$

推理出重心运动约束公式3.2

$$\dot{x} \sin(\theta + \phi) - \dot{y} \cos(\theta + \phi) - a * \dot{\theta} * \cos \phi = 0 \quad 3.2$$

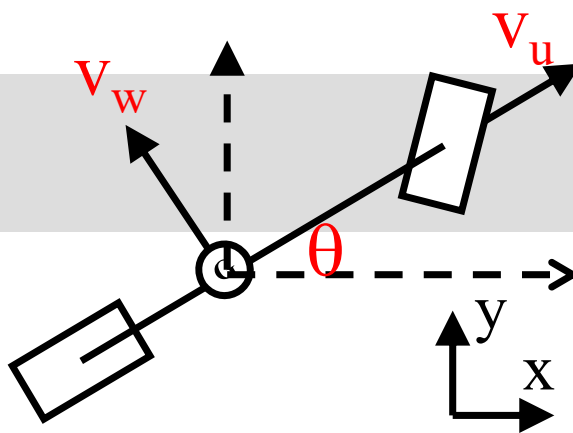
## 3.2.1 移动机器人运动学模型-基于Car-like小车

### Car-Like小车运动关系分析(3)

定义小车中轴线为u轴，其法向为w轴。则小车质心法向速度为 $v_w$ ，小车质心轴向速度为 $v_u$

则X、Y方向速度为

$$\begin{aligned}\dot{x} &= v_u * \cos \theta - v_w * \sin \theta \\ \dot{y} &= v_u * \sin \theta + v_w * \cos \theta\end{aligned}\quad 3.3$$



把(3.3)代入(3.1)

$$\dot{x} = v_u * \cos \theta - v_w * \sin \theta \quad 3.3$$

$$\dot{y} = v_u * \sin \theta + v_w * \cos \theta$$

$$\dot{x} \sin \theta - \dot{y} \cos \theta + b * \dot{\theta} = 0 \quad 3.1$$

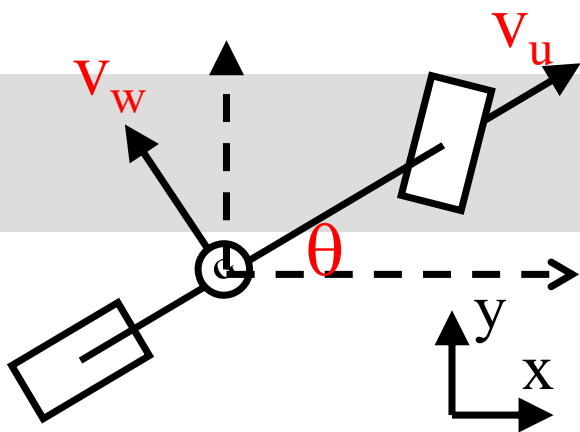
整理后，得

$$v_w = b\dot{\theta}$$

## 3.2.1 移动机器人运动学模型-基于Car-like小车

### Car-Like小车运动关系分析(4)

定义小车中轴线为u轴，其法向为w轴。则小车质心法向速度为 $v_w$ ，小车质心轴向速度为 $v_u$



$$\dot{x} = v_u * \cos \theta - v_w * \sin \theta \quad 3.3$$

$$\dot{y} = v_u * \sin \theta + v_w * \cos \theta$$

$$\dot{x} = v_u * \cos \theta - (b\dot{\theta}) * \sin \theta \quad 3.3$$

$$\dot{y} = v_u * \sin \theta + (b\dot{\theta}) * \cos \theta$$

把(3.3)代入(3.2)

$$\dot{x} \sin(\theta + \phi) - \dot{y} \cos(\theta + \phi) - a * \dot{\theta} * \cos \phi = 0 \quad 3.2$$

整理后，得

$$\dot{\theta} = \frac{v_u}{L} \tan \phi$$

## 3.2.1 移动机器人运动学模型-基于Car-like小车

### Car-Like小车运动关系分析(5)

小车质心运动学模型为:

$$\dot{x} = v_u * \cos \theta - b\dot{\theta} * \sin \theta \quad \dot{x} + b\dot{\theta} * \sin \theta = v_u * \cos \theta$$

$$\dot{y} = v_u * \sin \theta + b\dot{\theta} * \cos \theta \quad \dot{y} - b\dot{\theta} * \cos \theta = v_u * \sin \theta$$

$$\dot{\theta} = \frac{v_u}{L} \tan \phi$$

用后轮中心 $(x_1, y_1)$ 表示小车位置, 运动学方程更简单

$$\dot{x}_1 = \dot{x} + b * \dot{\theta} * \sin \theta$$

$$\dot{y}_1 = \dot{y} - b * \dot{\theta} * \cos \theta$$

后轮中心表示的小车运动学模型为:

$$\dot{x} = v * \cos \theta$$

$$\dot{y} = v * \sin \theta$$

$$\dot{\theta} = \frac{v}{L} \tan \phi$$

这里 $(x, y)$ 为表示小车后轮中心坐标,  $v$ 为前面的轴向速度 $v_u$

## 3.2.1 移动机器人运动学模型-基于Car-like小车

### ➤ 编制Car-Like小车运动学仿真模块(1)

#### ➤ 根据运动学模型，编制小车运动学Simulink模块

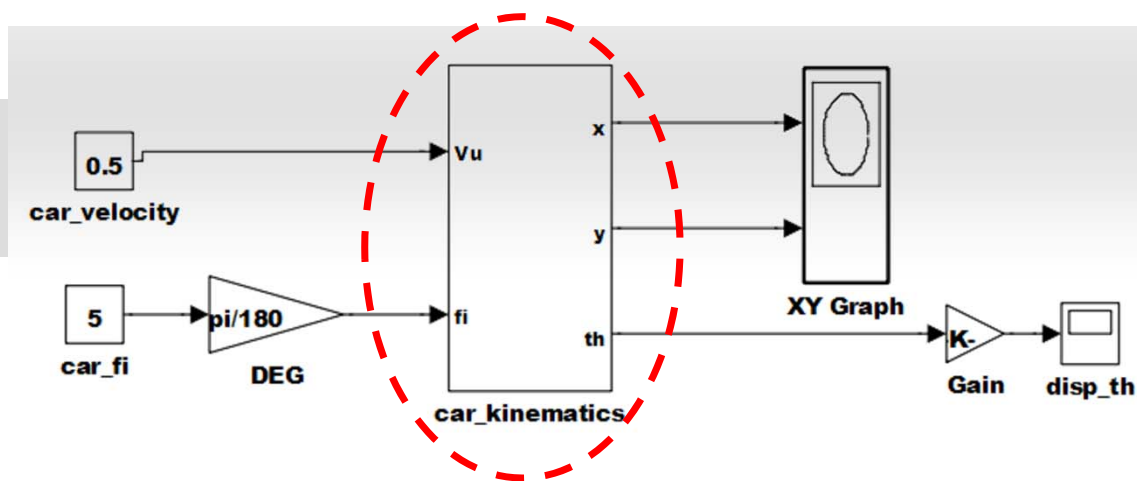
$$\dot{x} = v * \cos \theta$$

$$\dot{y} = v * \sin \theta$$

$$\dot{\theta} = \frac{v}{L} \tan \phi$$

输入：v,  $\phi$

输出：x, y,  $\theta$

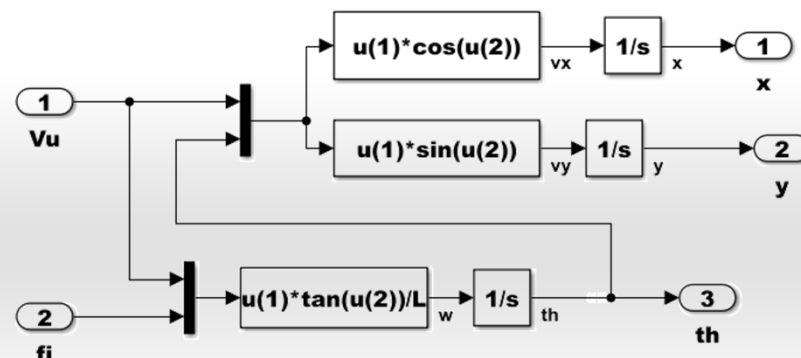
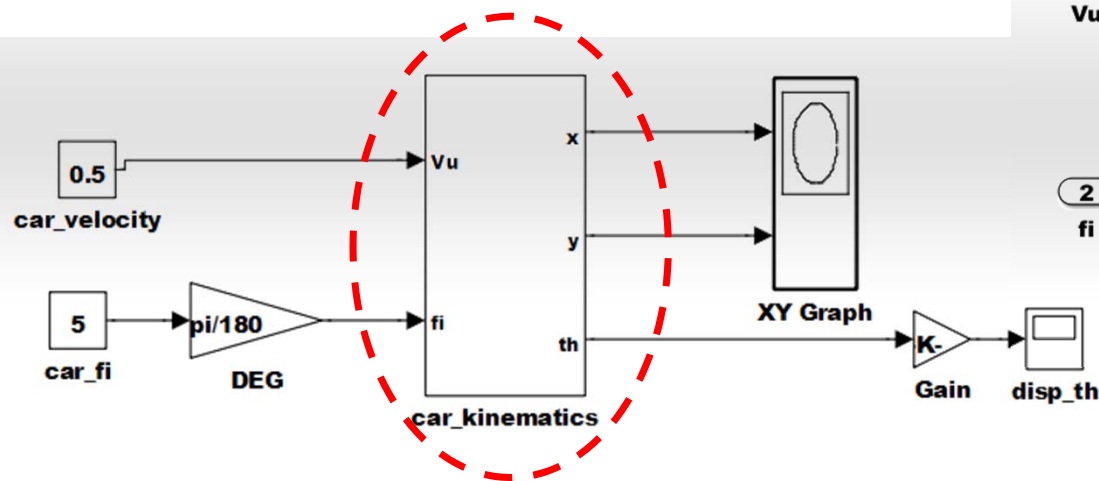


## 3.2.1 移动机器人运动学模型-基于Car-like小车



### 编制Car-Like小车运动学仿真模块(2)

#### 小车运动学Simulink模块



$$\dot{x} = v * \cos \theta$$

$$\dot{y} = v * \sin \theta$$

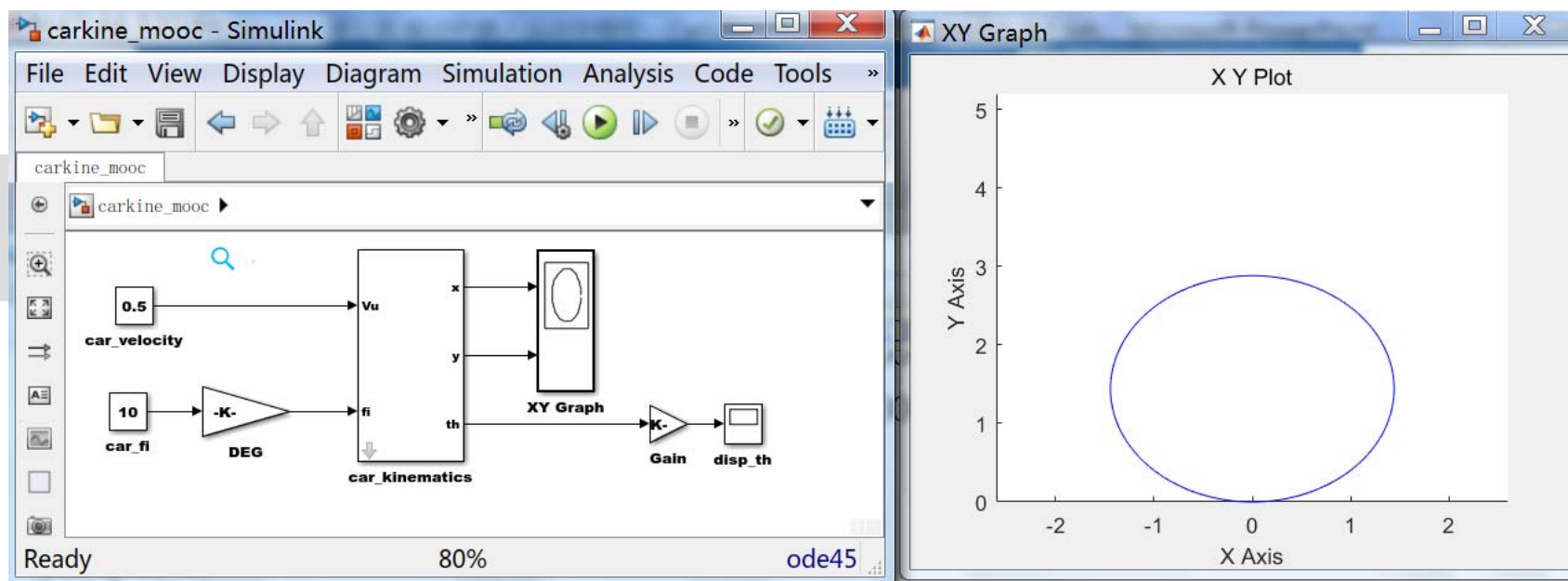
$$\dot{\theta} = \frac{v}{L} \tan \phi$$



## 3.2.1 移动机器人运动学模型-基于Car-like小车

### ➤ 编制Car-Like小车运动学仿真模块(3)

#### ➤ 运动学仿真





## 3.2.1 移动机器人运动学模型-基于Car-like小车



### Car\_Like小车转向曲率(1)

小车运动学模型为:

$$\dot{x} = v \cos \theta$$

$$\ddot{x} = -v \sin \theta \dot{\theta}$$

$$\dot{y} = v \sin \theta$$

$$\ddot{y} = v \cos \theta \dot{\theta}$$

$$\dot{\theta} = \frac{v}{L} \tan \phi$$

$$\dot{\theta} = \frac{v}{L} \tan \phi$$

假设转向角有最大值  $\phi \leq \phi_{\max}$

$$K = \frac{\tan \phi}{L} \leq \frac{\tan \phi_{\max}}{L}$$

则小车转向的曲率为:

$$K = \frac{\dot{x}(t)\ddot{y}(t) - \ddot{x}(t)\dot{y}(t)}{\left(\sqrt{\dot{x}(t)^2 + \dot{y}(t)^2}\right)^3} = \frac{v^2 \cos^2 \theta \dot{\theta} + v^2 \sin^2 \theta \dot{\theta}}{v^3} = \frac{\dot{\theta}}{v} = \frac{\tan \phi}{L}$$

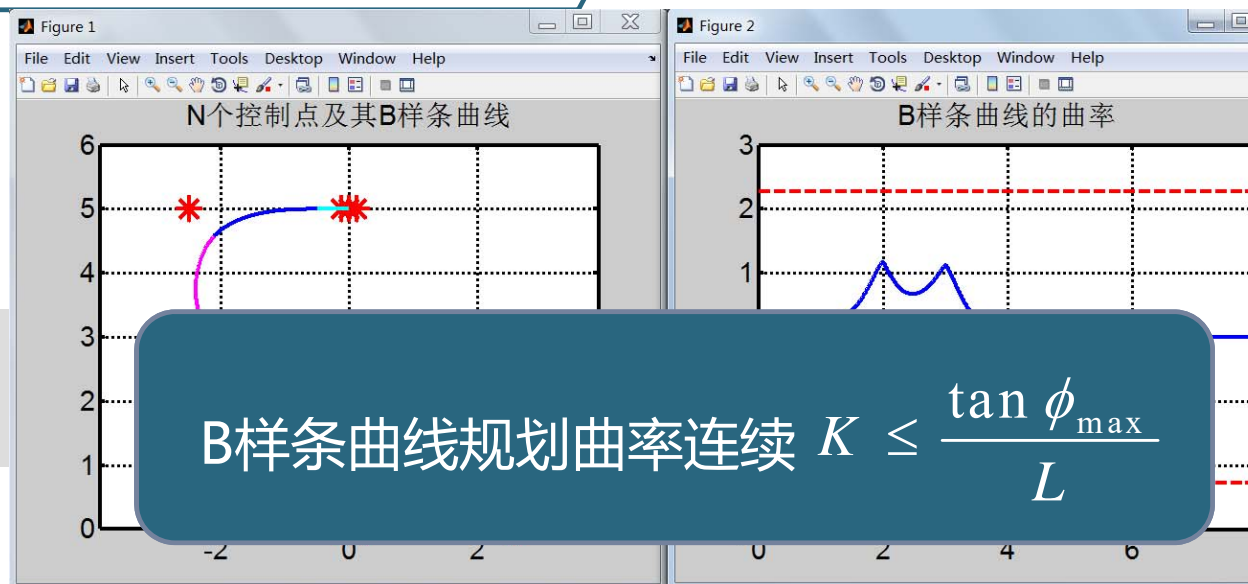
运动学对平面曲线要求: (1)曲线曲率连续、即转向角连续; (2)曲线曲率有最大值限制。



## 3.2.1 移动机器人运动学模型-基于Car-like小车



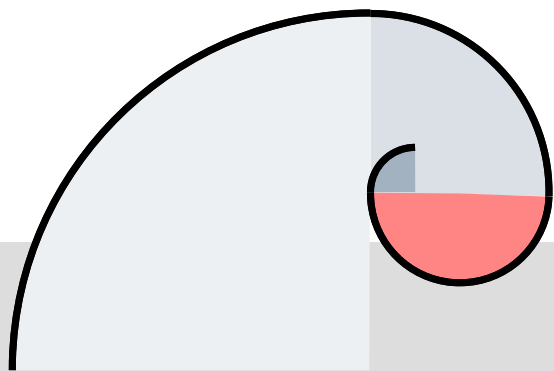
### Car\_Like小车转向曲率(2)



## 3.2.1 移动机器人运动学模型-基于Car-like小车



### Car\_Like小车转向曲率(4)

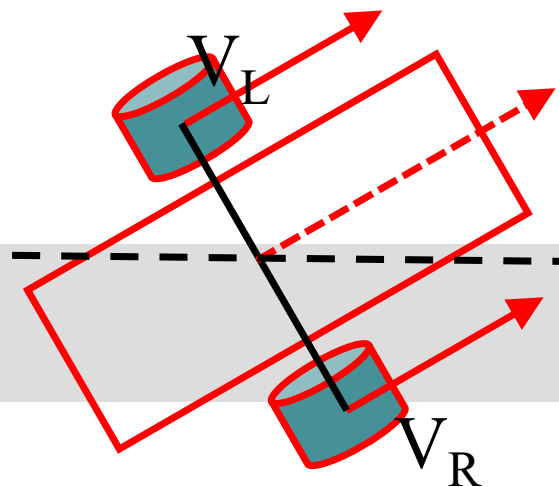


$$K = \frac{\tan \phi}{L}$$

- 曲线的曲率不连续，不适合作为小车规划曲线...

## 3.2.2 移动机器人运动学模型-基于Tank-Like小车

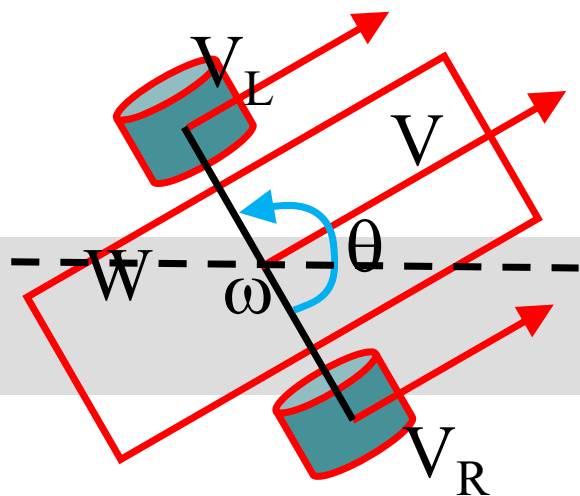
### ➤ Tank-Like小车运动学模型



基于小车几何结构参数，分析推理出小车独特的运动特性——运动学(Kinematics)方程

## 3.2.2 移动机器人运动学模型-基于Tank-Like小车

### ➤ Tank—Like小车几何结构参数及运动关系



$(x, y)$  为小车车轮中心位置

$V_L$  左轮前进速度； $V_R$  右轮前进速度。 $\theta$  为小车中轴线与水平方向夹角，即方位角；两轮中心距离为  $W$ ，即两轮宽度为  $W$ 。

➤ 前向速度  $V = \frac{1}{2}(V_L + V_R)$

➤ 转向角速度  $\omega = (V_R - V_L) / W$

$$\dot{x}(t) = V * \cos \theta$$

$$\dot{y}(t) = V * \sin \theta$$

$$\dot{\theta}(t) = \omega(t)$$

$$\begin{cases} V = \frac{1}{2}(V_L + V_R) \\ \omega = \frac{1}{W}(V_R - V_L) \end{cases} \Leftrightarrow \begin{cases} V_R = V + \frac{W}{2}\omega \\ V_L = V - \frac{W}{2}\omega \end{cases}$$

## 3.2.2 移动机器人运动学模型-基于Tank-Like小车



### ➤ Tank-Like小车转向曲率(1)

#### ➤ 样条曲线曲率

$$\kappa = \frac{\dot{x}(t) \ddot{y}(t) - \ddot{x}(t) \dot{y}(t)}{\left( \sqrt{\dot{x}(t)^2 + \dot{y}(t)^2} \right)^3}$$

➤ 我们研究左右轮速度恒定时的转向曲率

#### ➤ 转向曲率

$$\kappa = \frac{\dot{\theta}}{V} = \frac{2(v_R - v_L)}{W(v_R + v_L)}$$

$$\dot{x}(t) = V * \cos \theta$$

$$\dot{y}(t) = V * \sin \theta$$

$$\dot{\theta}(t) = \frac{(v_R - v_L)}{W}$$

$$\ddot{x}(t) = -V \sin \theta * \dot{\theta}$$

$$\ddot{y}(t) = V \cos \theta * \dot{\theta}$$



## 3.2.2 移动机器人运动学模型-基于Tank-Like小车

### ➤ Tank-Like小车转向曲率(2)

➤ 假设右轮已经最大速度  $V_R = V_{\max}$

$$V = \frac{(v_R + v_L)}{2} = \frac{V_M + v_L}{2} \quad V_L = 2V - V_M$$

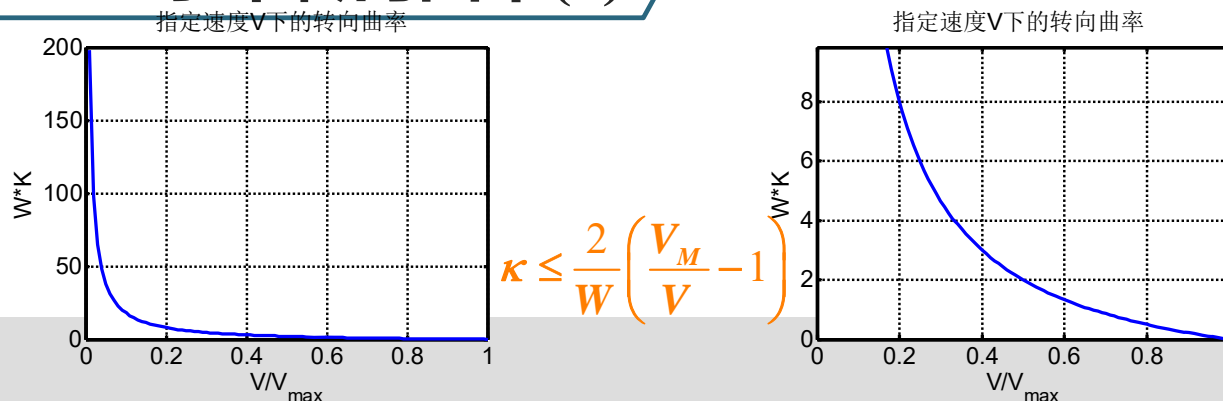
$$\kappa = \frac{2(v_R - v_L)}{W(v_R + v_L)} = \frac{1}{W} \frac{(V_M - (2V - V_M))}{V} = \frac{2}{W} \left( \frac{V_M}{V} - 1 \right)$$

↓  
指定前向速度  $V$  情况下，转向曲率为

$$\kappa \leq \frac{2}{W} \left( \frac{V_M}{V} - 1 \right)$$

## 3.2.2 移动机器人运动学模型-基于Tank-Like小车

### ➤ Tank-Like小车转向曲率(3)



1. 前向速度  $V=0$ ，转向曲率可以无限大，即静止状态下Tank-Like机器人可以原地转向
2. 前向速度  $V=V_{\max}$ ，转向曲率为0，只能走直线
3. 前向速度  $V=V_{\max}/2$ ，转向曲率  $K \approx 2/W$



# 本章大纲

---

移动机器人的平面曲线规划

移动机器人运动学模型

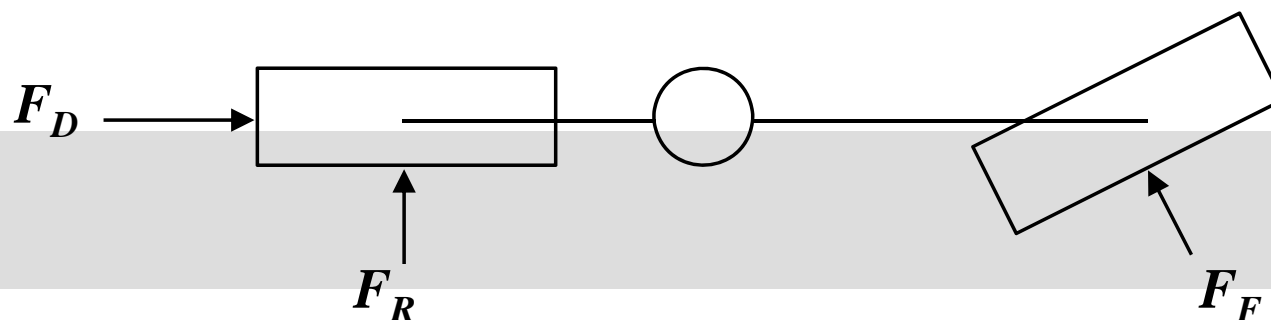
移动机器人动力学模型

移动机器人曲线跟踪与误差控制



## 3.3 移动机器人动力学模型

### ➤ Car-Like小车动力学(1)

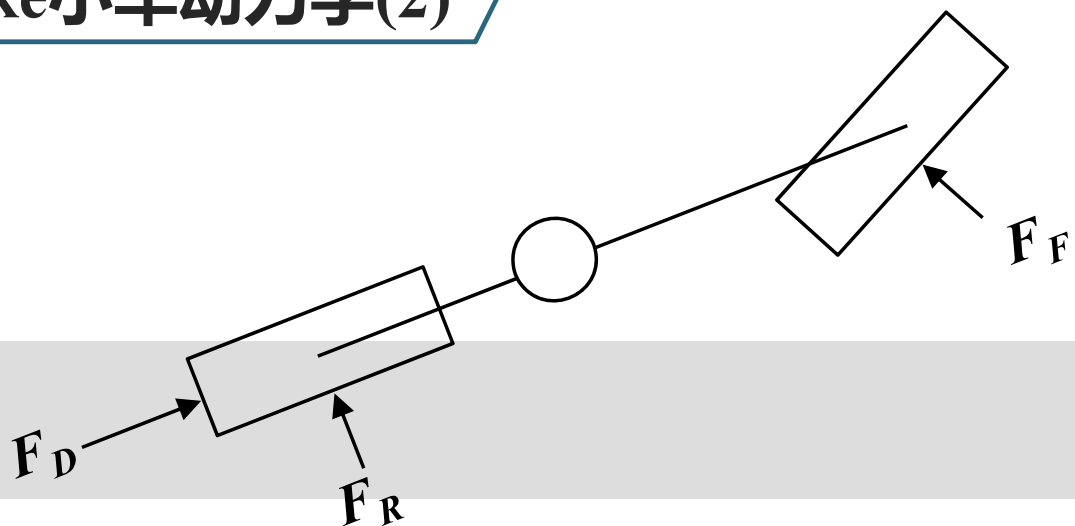


➤ 基于小车受力分析，建立小车驱动变量与系统输出变量间关系—动力学(dynamics)方程

### 3.3 移动机器人动力学模型



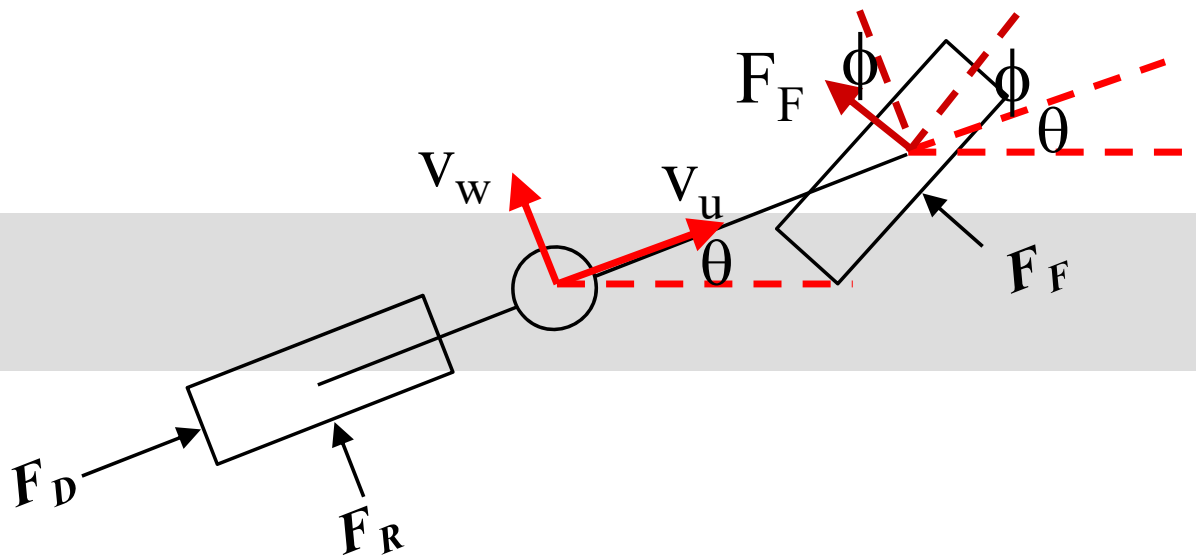
#### Car-Like小车动力学(2)



设小车质量为 $M_u$ ，绕质心转动惯量为 $J_u$ 。小车推力为 $F_D$ 总是沿着小车中轴线的，前轮测向受力为 $F_F$ ，后轮测向受力为 $F_R$ 。

## 3.3 移动机器人动力学模型

### Car-Like小车动力学(3)



小车轴向受力分析:

$$M_u * (\dot{v}_u) = F_D - b_u v_u - F_F \sin \phi \quad 3.1$$

小车法向受力分析:

$$M_u * (\dot{v}_w) = F_R + F_F \cos \phi \quad 3.2$$

小车转动受力分析:

$$J_u * (\ddot{\theta}) = -F_R * b + F_F \cos \phi * a \quad 3.3$$

## 3.3 移动机器人动力学模型

### ➤ Car-Like小车动力学(4) /

➤! 重写轴向、法向、转动三个受力方程

消去未知的侧向力 $F_F$ 和 $F_R$ , 得

$$M_u * (\dot{v}_u) = F_D - b_u v_u - F_F \sin \phi \quad 3.1$$

$$M_u * (\dot{v}_w) = F_R + F_F \cos \phi \quad 3.2$$

$$J_u * (\ddot{\theta}) = -F_R * b + F_F \cos \phi * a \quad 3.3$$

$$M_u * (\dot{v}_u) + \left[ b * M_u * (\dot{v}_w) + J_u (\ddot{\theta}) \right] \frac{\tan \phi}{L} = F_D - b_u v_u$$

➤! 非完整约束问题, 只能部分建模!!!

$$v_w = b \dot{\theta}$$

$$\dot{v}_w = b \ddot{\theta}$$

$$b * M_u * (\dot{v}_w) + J_u * (\ddot{\theta}) = F_F \cos \phi * L$$

$$\dot{\theta} = \frac{v_u}{L} \tan \phi$$

$$\ddot{\theta} = \frac{\dot{v}_u}{L} \tan \phi + \frac{v_u}{L} \frac{1}{\cos^2 \phi} \dot{\phi}$$

$$\left[ b * M_u * (\dot{v}_w) + J_u * (\ddot{\theta}) \right] \frac{\tan \phi}{L} = F_F \sin \phi$$



## 3.3 移动机器人动力学模型



### Car-Like小车动力学(5)

! 小车前向非线性动力学方程:

$$\left[ M_u + \frac{\tan^2 \phi}{L^2} (J_u + M_u b^2) \right] \dot{v}_u + \frac{\tan \phi}{L^2 \cos^2 \phi} (J_u + M_u b^2) v_u \dot{\phi} = F_D - b_u v_u$$

$M_u + \frac{(J_u + M_u b^2)}{L^2} \tan^2 \phi$  是小车等效质量

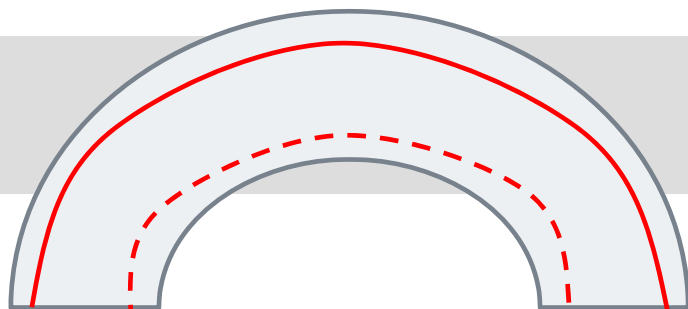
$\frac{\tan \phi}{L^2 \cos^2 \phi} (J_u + M_u b^2) v_u \dot{\phi}$  为离心力项



## 3.3 移动机器人动力学模型

### ➤ Car-Like小车动力学(6)

- 利用赛道宽度，尽量减少小车轨迹曲线曲率，即减小转向角，有利于小车加速



## 3.3 移动机器人动力学模型

### ➤ Car-Like小车动力学(7)

$$\left[ M_u + \frac{\tan^2 \phi}{L^2} (J_u + M_u b^2) \right] \dot{v}_u + \frac{\tan \phi}{L^2 \cos^2 \phi} (J_u + M_u b^2) v_u \dot{\phi} = F_D - b_u v_u$$

➤ 当  $\phi = 0, \dot{\phi} = 0$  时, 动力学方程简化为

$$M_u \dot{v}_u + b_u v_u = F_D$$

➤ 显然, 这就是沿直线运动时小车动力学方程。写成传递函数形式就是:

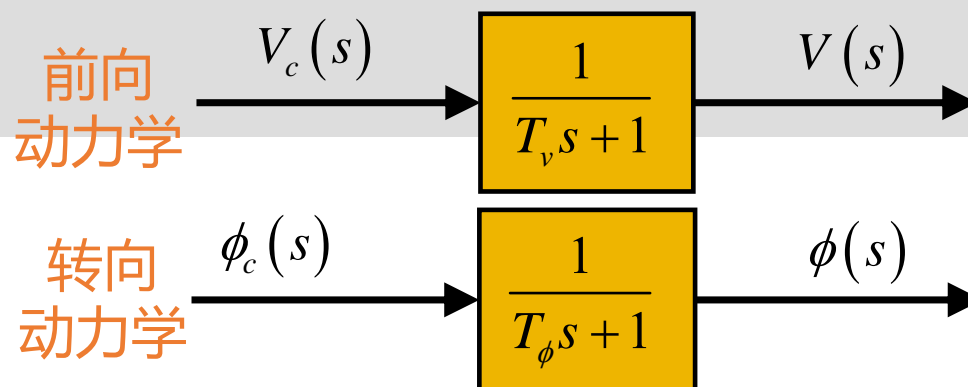
$$v_u(s) = \frac{1}{M_u s + b_u} F_D(s)$$



## 3.3 移动机器人动力学模型

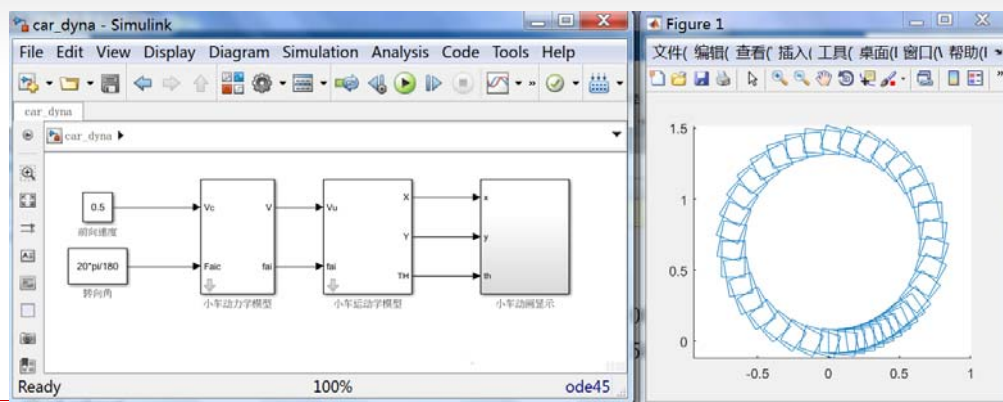
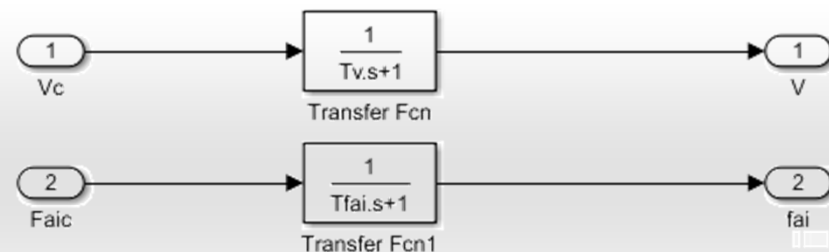
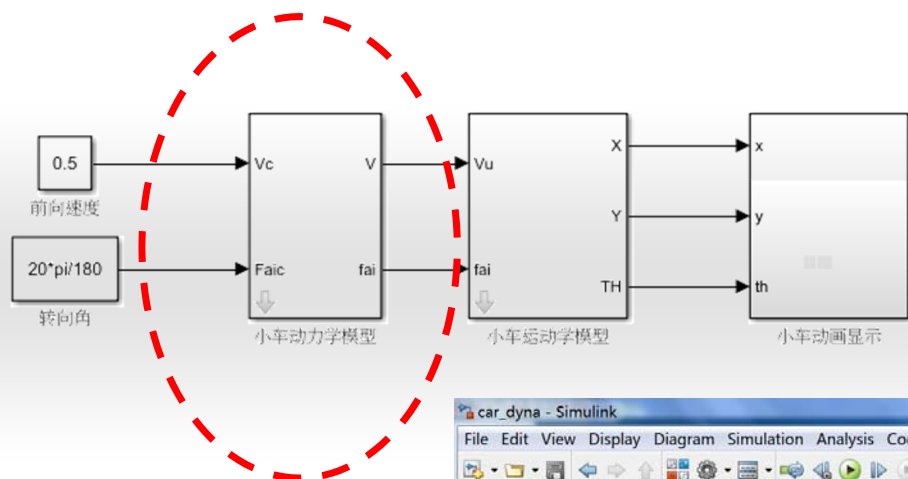
### Car-Like小车动力学(8)

- 考虑到电机减速驱动等因素，精确得到小车解析动力学方程非常困难。在实际中可以结合实验测量方法得到简化动力学方程。一般可以假设控制变量( $V_c, \phi_c$ )到系统输出( $V, \phi$ )间满足一阶环节关系：



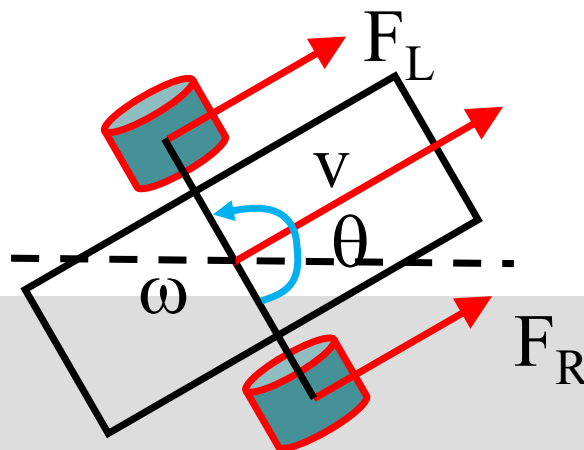
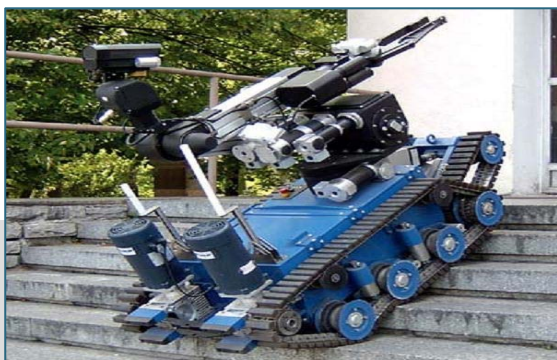
## 3.3 移动机器人动力学模型

### ➤ 小车动力学Simulink模块



## 3.3 移动机器人动力学模型

### ➤ Tank-Like小车动力学(1)



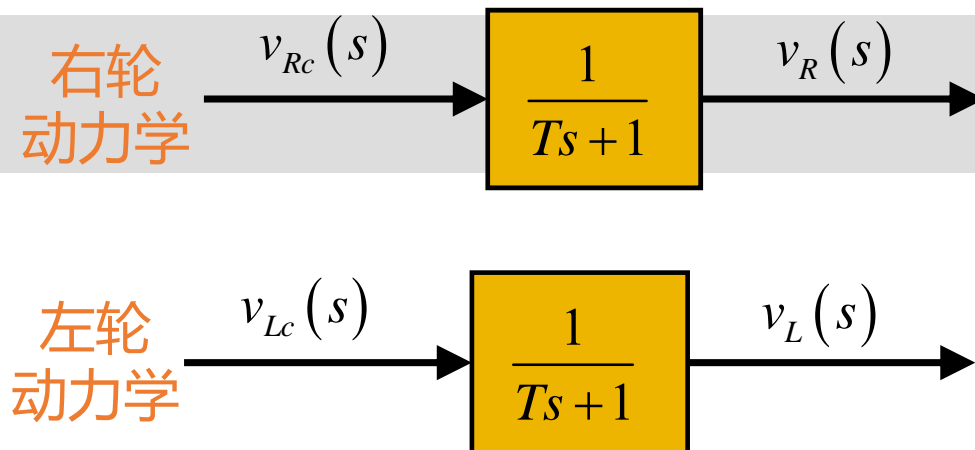
$$m\dot{V} = \frac{1}{2}m(\dot{V}_L + \dot{V}_R) = (F_L - b_F V_L) + (F_R - b_F V_R)$$

$$J\ddot{\theta} = J \frac{(\dot{V}_R - \dot{V}_L)}{W} = [(F_R - b_F V_R) - (F_L - b_F V_L)] \frac{W}{2} - b_J \dot{\theta}$$

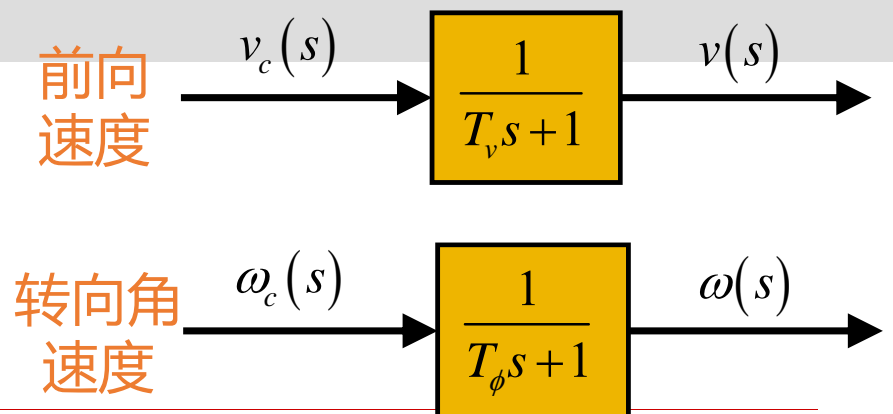
## 3.3 移动机器人动力学模型

### ➤ Tank-Like小车动力学(2)

- 考虑到电机减速驱动等因素，精确得到小车解析动力学方程非常困难。在实际中可以结合实验测量方法得到简化动力学方程。一般可以假设控制变量( $v_{Rc}, v_{Lc}$ )到系统输出( $v_R, v_L$ )间满足一价环节关系：



$$V = \frac{v_R + v_L}{2}, \omega = \frac{v_R - v_L}{W}$$



# 本章大纲

---

移动机器人的平面曲线规划

移动机器人运动学模型

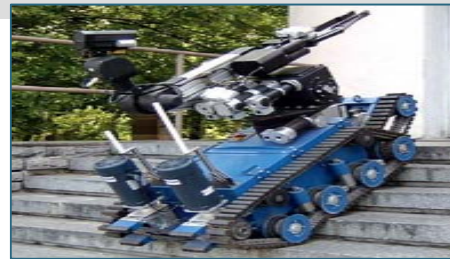
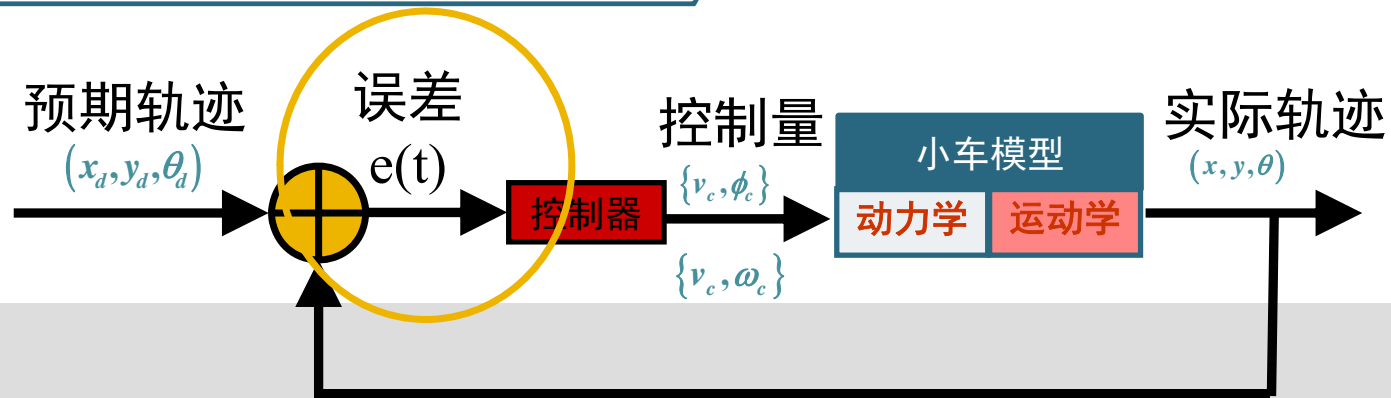
移动机器人动力学模型

移动机器人曲线跟踪与误差控制



## 3.4 移动机器人曲线跟踪与误差控制

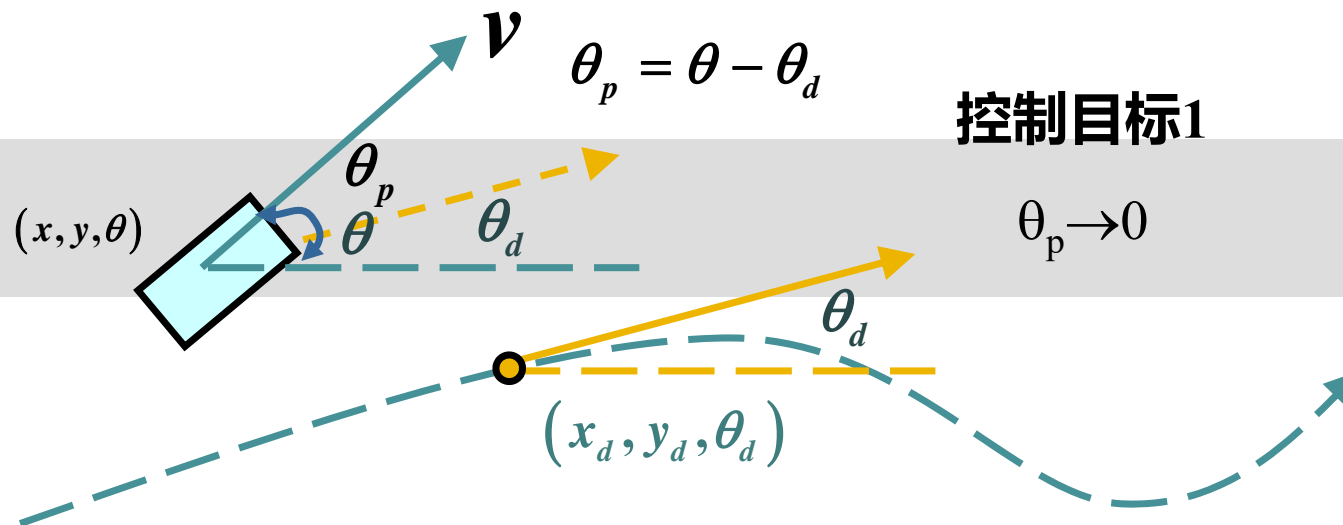
### ➤ 曲线跟踪算法及控制器设计



## 3.4 移动机器人曲线跟踪与误差控制

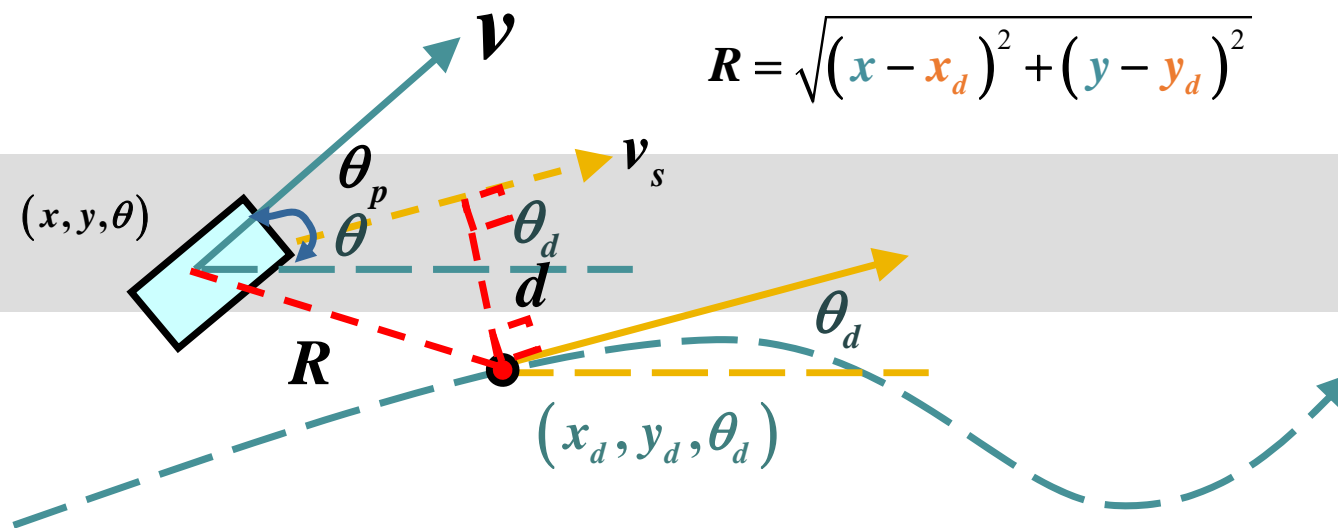
### ➤ 曲线跟踪误差分析(1)

#### ➤ (1) 方位角误差



## 3.4 移动机器人曲线跟踪与误差控制

### 曲线跟踪误差分析(2)

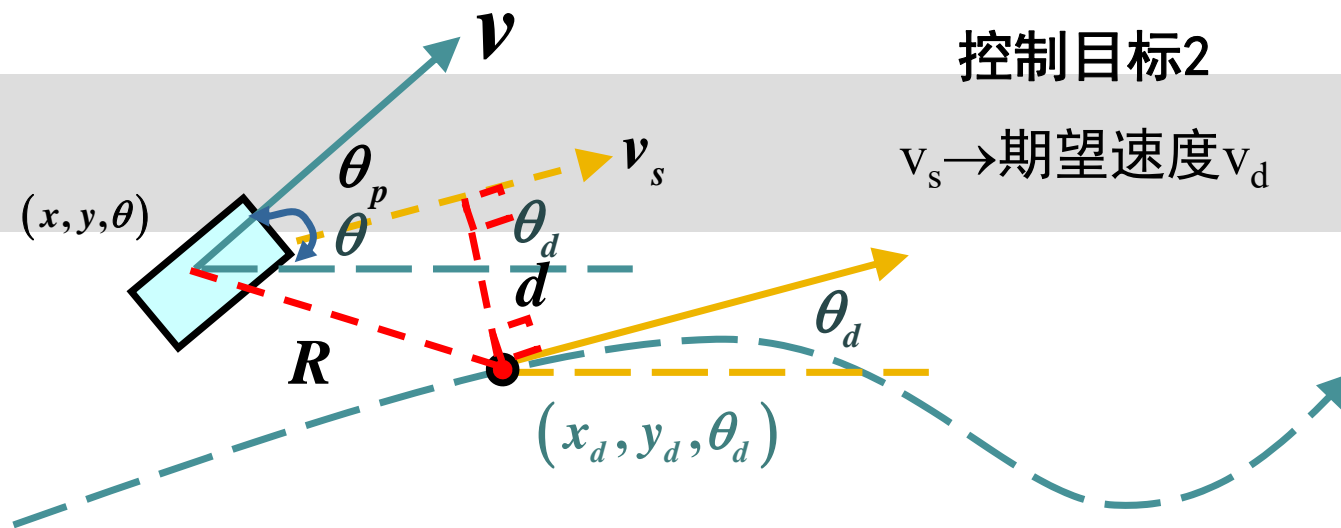




## 3.4 移动机器人曲线跟踪与误差控制

### 曲线跟踪误差分析(3)

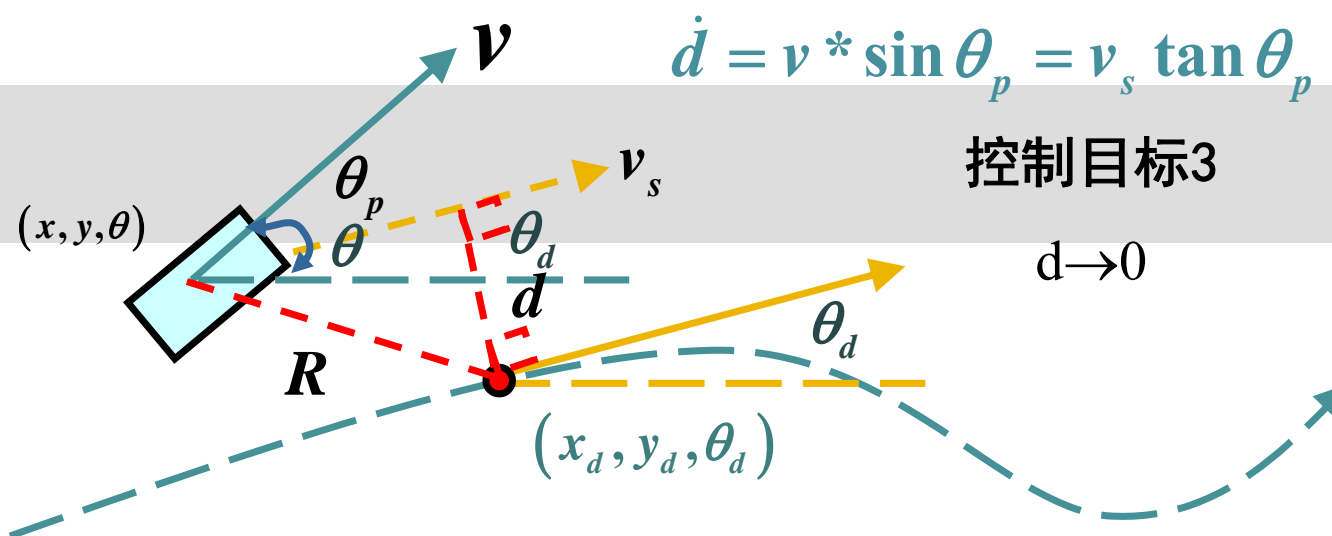
(2) 前向速度  $v_s = v * \cos \theta_p$



## 3.4 移动机器人曲线跟踪与误差控制

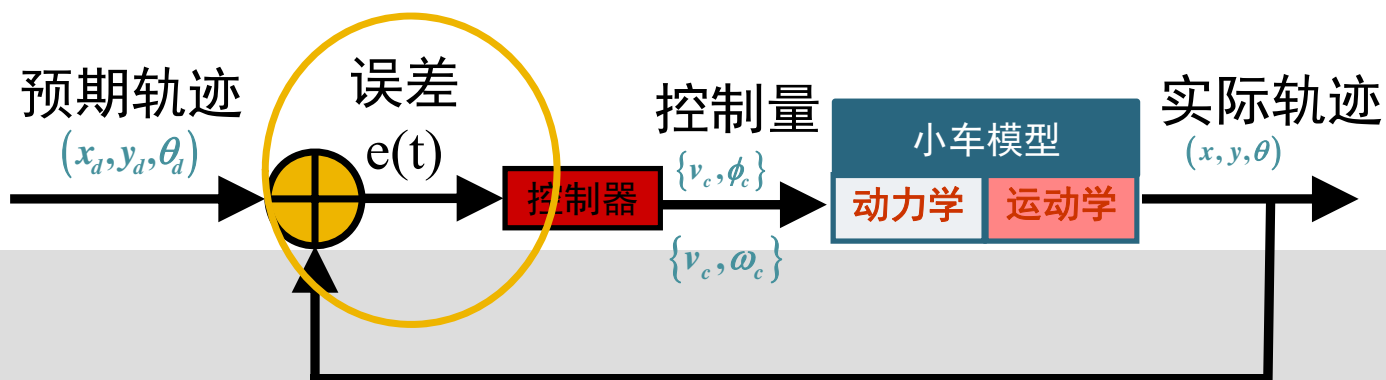
### ➤ 曲线跟踪误差分析(3)

➤ (3) 法向位置误差  $d = R * \cos \left( \tan^{-1} \left( \frac{y - y_d}{x - x_d} \right) - \frac{\pi}{2} - \theta_d \right)$



## 3.4 移动机器人曲线跟踪与误差控制

### ➤ 曲线跟踪误差分析(5)/



### ➤ 曲线跟踪误差

$$\theta_p = \theta - \theta_d \quad v_s = v \cos \theta_p \quad \dot{d} = v_s \tan \theta_p$$

## 3.4 移动机器人曲线跟踪与误差控制

### Car-Like 小车曲线跟踪算法(1)

运动学模型

$$\dot{x} = v \cos \theta$$

$$\dot{y} = v \sin \theta$$

$$\dot{\theta} = \frac{v}{L} \tan \phi$$

动力学模型

$$v(s) = \frac{1}{T_v s + 1} v_c$$

$$\phi(s) = \frac{1}{T_\phi s + 1} \phi_c$$

跟踪误差方程

$$\theta_p = \theta - \theta_d$$

$$v_s = v \cos \theta_p$$

$$\dot{d} = v_s \tan \theta_p$$

这三个方程可以用四元组描述  $(v_s, d, \theta_p, \phi)$

理想的工作点:

$$(v_s \approx v_d, d \approx 0, \theta_p \approx 0, \phi \approx 0)$$

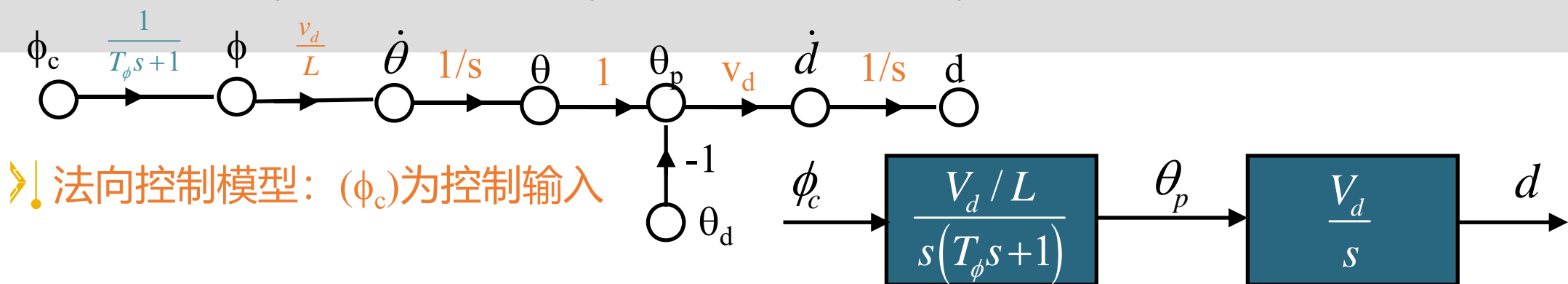
## 3.4 移动机器人曲线跟踪与误差控制

### Car-Like 小车曲线跟踪线性化模型(2)

$$\begin{aligned}\dot{x} &= v \cos \theta \\ \dot{y} &= v \sin \theta \\ \dot{\theta} &= \frac{v}{L} \tan \phi\end{aligned}$$

$$\begin{aligned}v &= \frac{1}{T_v s + 1} v_c \\ \phi &= \frac{1}{T_\phi s + 1} \phi_c\end{aligned}$$

$$\begin{aligned}\theta_p &= \theta - \theta_d \\ v_s &= v \cos \theta_p \\ \dot{d} &= v_s \tan \theta_p\end{aligned}$$



## 3.4 移动机器人曲线跟踪与误差控制

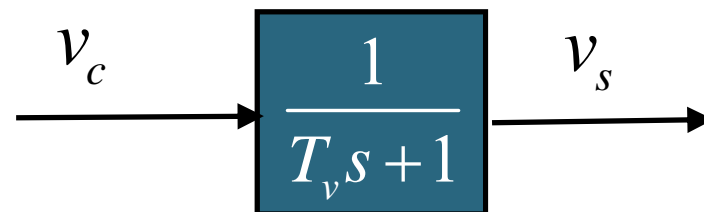
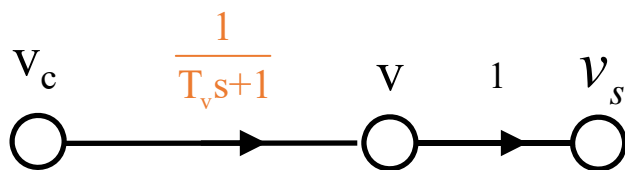
### Car-Like 小车曲线跟踪线性化模型(3)

$$\begin{aligned}\dot{x} &= v \cos \theta \\ \dot{y} &= v \sin \theta \\ \dot{\theta} &= \frac{v}{L} \tan \phi\end{aligned}$$

$$\begin{aligned}v &= \frac{1}{T_v s + 1} v_c \\ \phi &= \frac{1}{T_\phi s + 1} \phi_c\end{aligned}$$

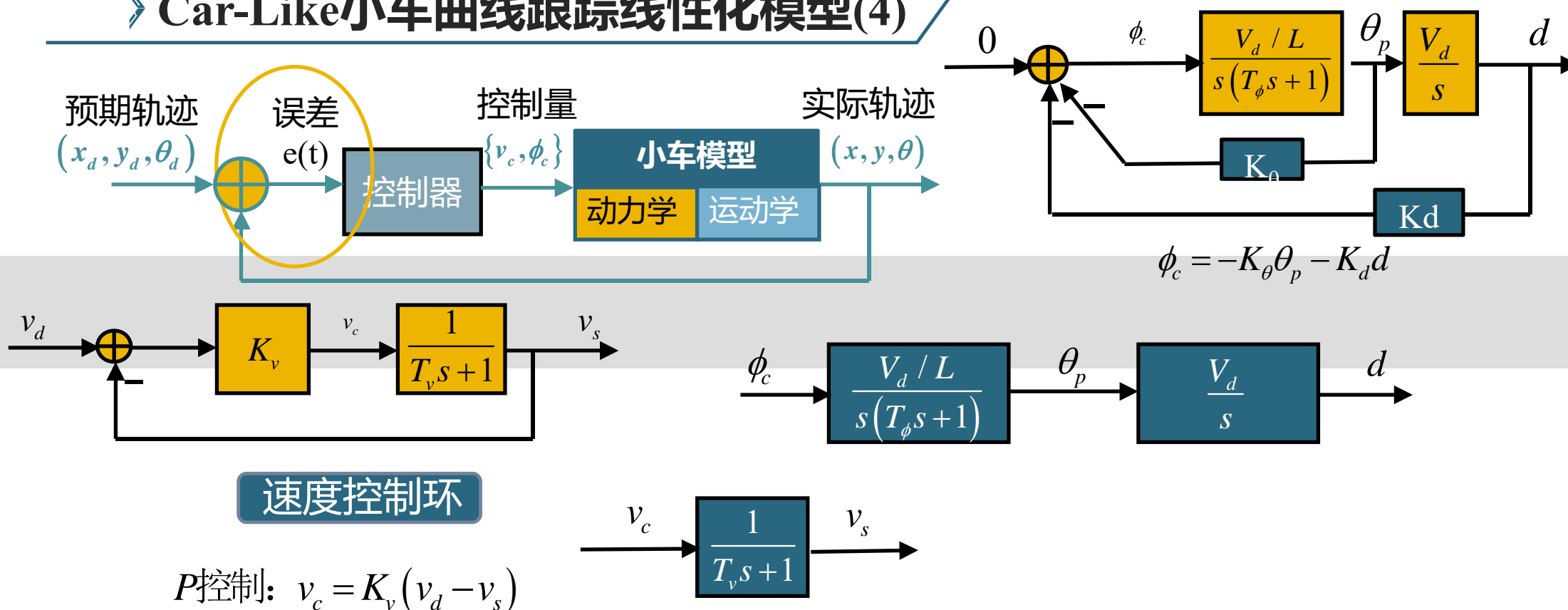
$$\begin{aligned}\theta_p &= \theta - \theta_d \\ v_s &= v \cos \theta_p \\ \dot{d} &= v_s \tan \theta_p\end{aligned}$$

小车前向速度控制模型： $(v_c)$ 为控制输入



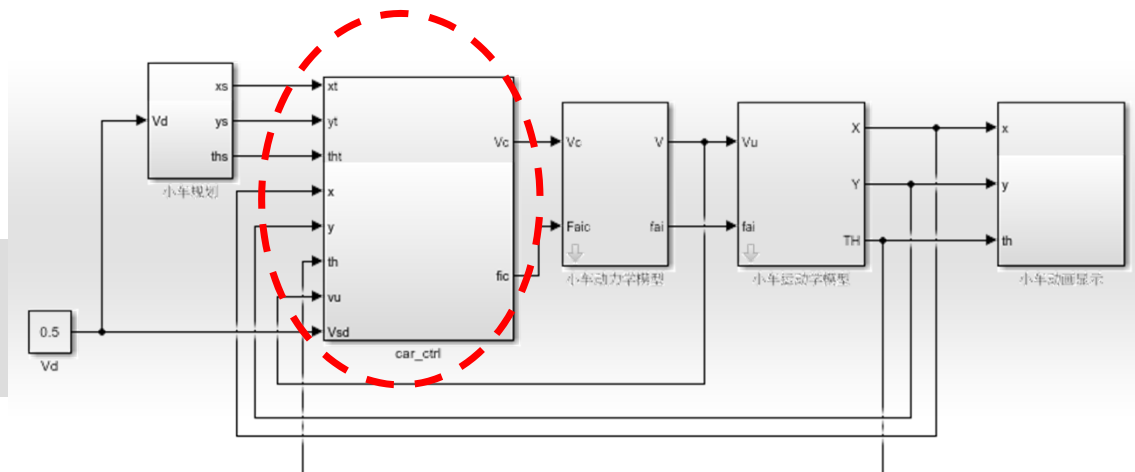
## 3.4 移动机器人曲线跟踪与误差控制

### Car-Like 小车曲线跟踪线性化模型(4)



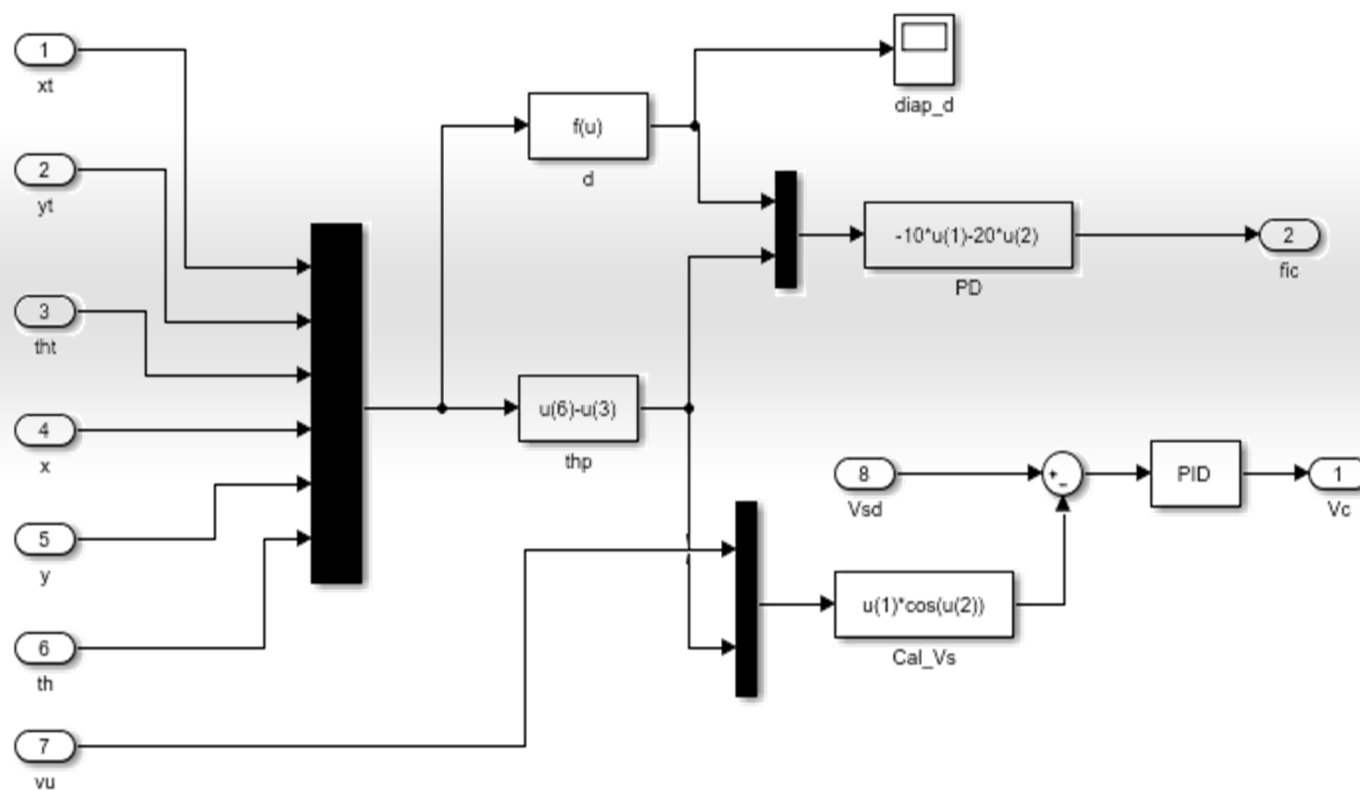
## 3.4 移动机器人曲线跟踪与误差控制

### ► 编制Car-Like小车曲线跟踪控制模块(1)



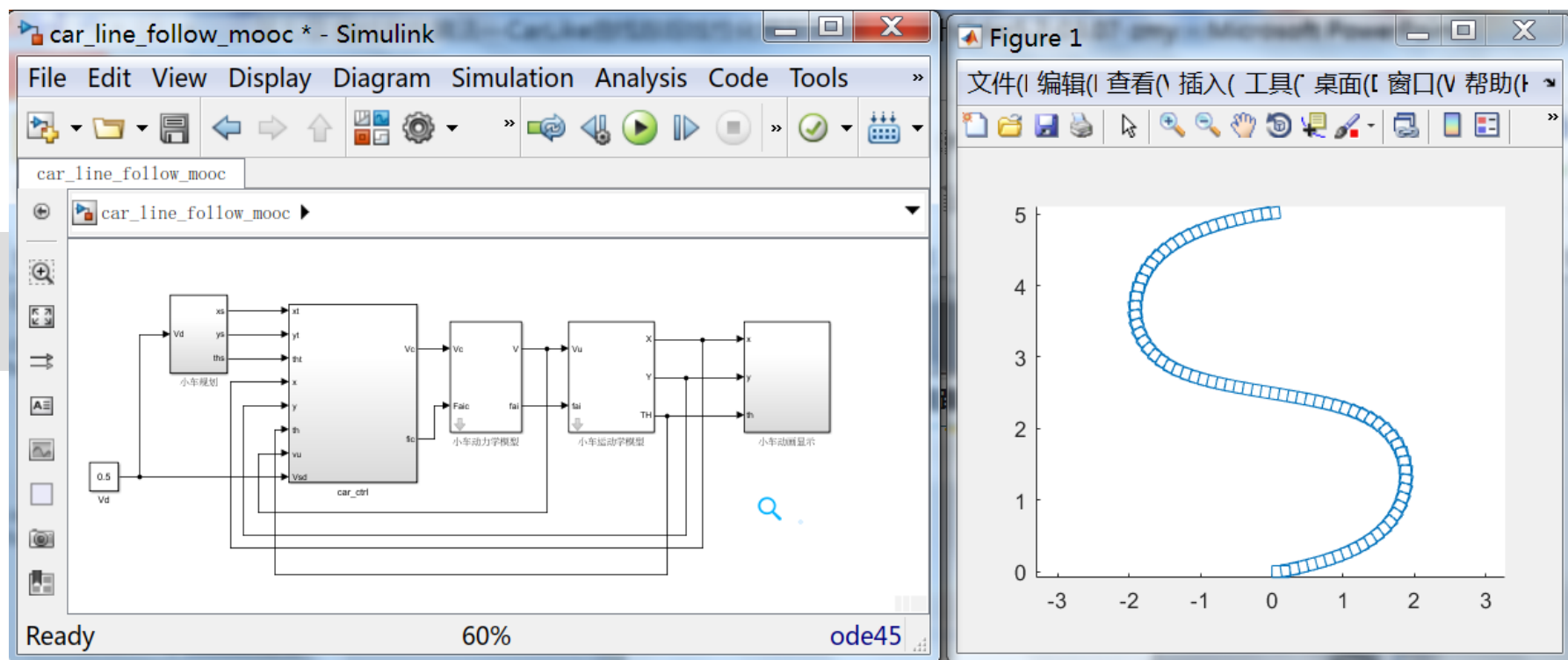


### 3.4 移动机器人曲线跟踪与误差控制



## 3.4 移动机器人曲线跟踪与误差控制

### 编制Car-Like小车曲线跟踪控制模块(2)



## 3.4 移动机器人曲线跟踪与误差控制

### ➤ Tank-Like 小车曲线跟踪算法(1)

运动学模型

$$\dot{x} = v \cos \theta$$

$$\dot{y} = v \sin \theta$$

$$\dot{\theta} = \omega$$

动力学模型

$$v = \frac{1}{Ts + 1} v_c$$

$$\omega = \frac{1}{Ts + 1} \omega_c$$

跟踪误差方程

$$\theta_p = \theta - \theta_d$$

$$v_s = v \cos \theta_p$$

$$\dot{d} = v_s \tan \theta_p$$

➤ 这三个方程可以用三元组描述

$$(v_s, d, \theta_p)$$

理想的工作点:

$$(v_s \approx v_d, d \approx 0, \theta_p \approx 0)$$

### 3.4 移动机器人曲线跟踪与误差控制

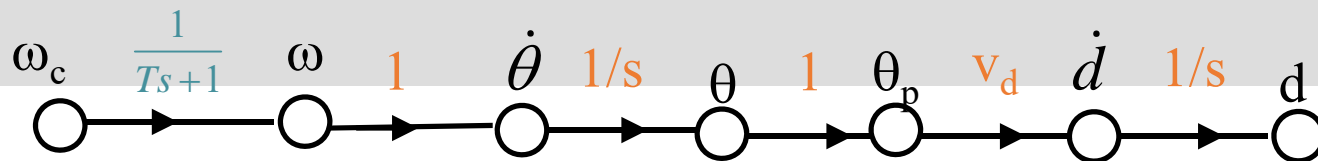


#### ➤ Tank-Like 小车曲线跟踪线性化模型(2)

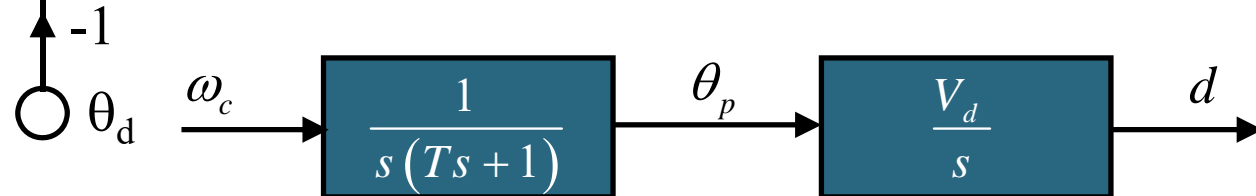
$$\begin{aligned}\dot{x} &= v \cos \theta \\ \dot{y} &= v \sin \theta \\ \dot{\theta} &= \omega\end{aligned}$$

$$\begin{aligned}v &= \frac{1}{Ts + 1} v_c \\ \omega &= \frac{1}{Ts + 1} \omega_c\end{aligned}$$

$$\begin{aligned}\theta_p &= \theta - \theta_s \\ v_s &= v \cos \theta_p \\ \dot{d} &= v_s \tan \theta_p\end{aligned}$$



➤ 法向控制模型:  $(\omega_c)$  为控制输入

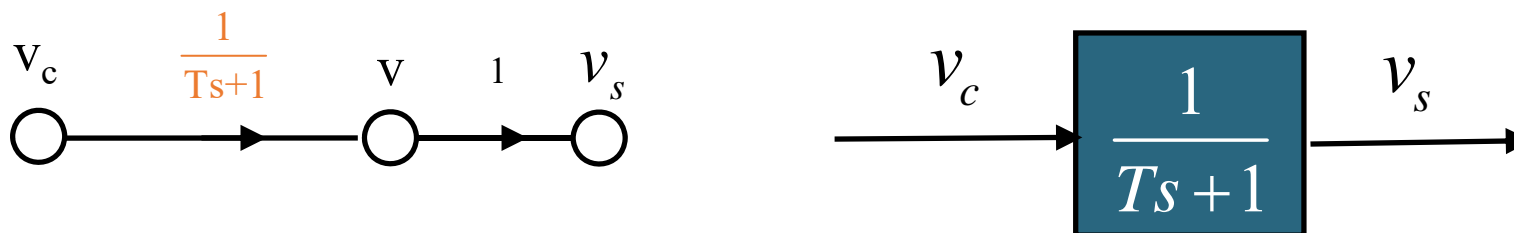


## 3.4 移动机器人曲线跟踪与误差控制

### ➤ Tank-Like 小车曲线跟踪线性化模型(3)

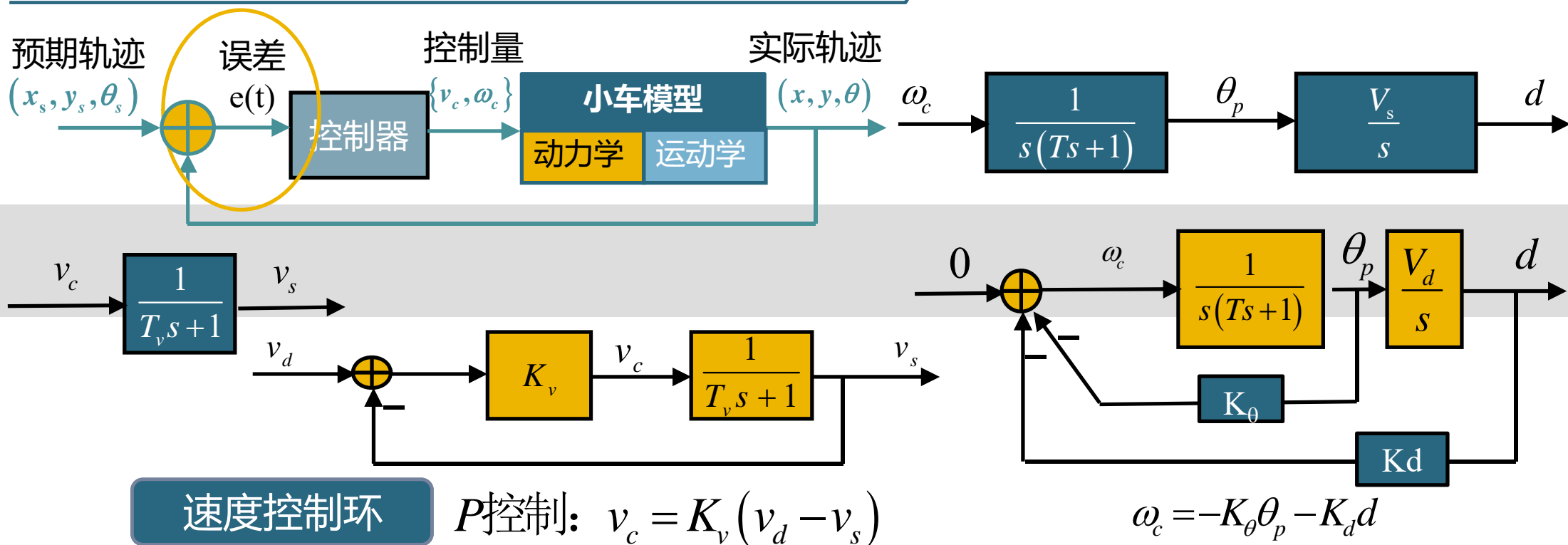
$$\begin{aligned} \dot{x} &= v \cos \theta \\ \dot{y} &= v \sin \theta \\ \dot{\theta} &= \omega \end{aligned} \quad \begin{aligned} v &= \frac{1}{Ts+1} v_c \\ \omega &= \frac{1}{Ts+1} \omega_c \end{aligned} \quad \begin{aligned} \theta_p &= \theta - \theta_s \\ v_s &= v \cos \theta_p \\ \dot{d} &= v_s \tan \theta_p \end{aligned}$$

➤ 小车前向速度控制模型：( $v_c$ )为控制输入



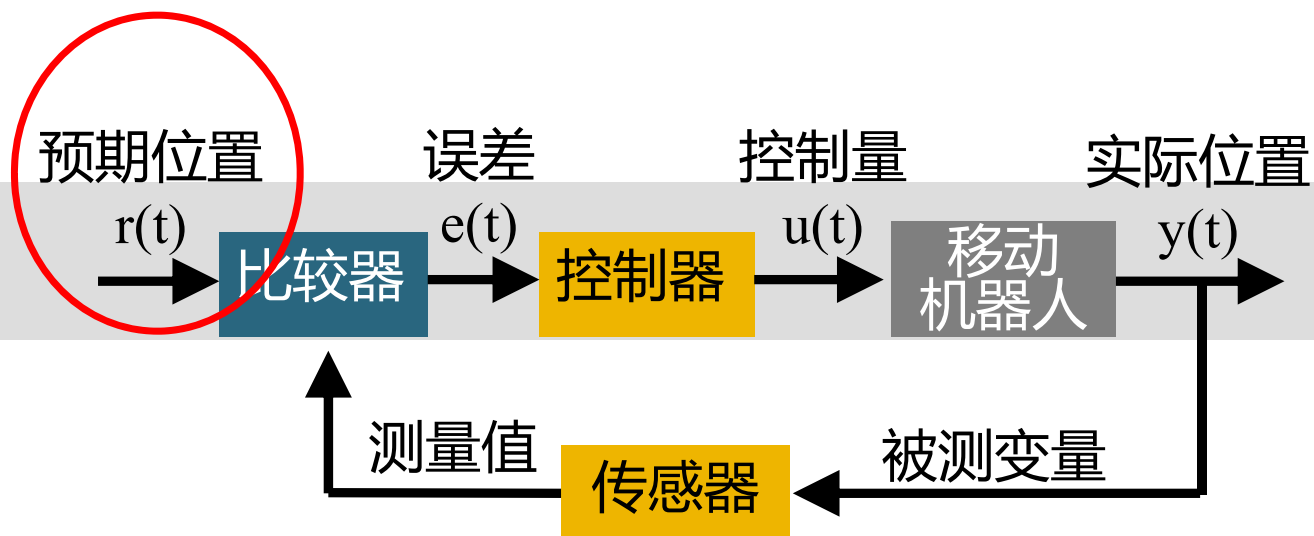
### 3.4 移动机器人曲线跟踪与误差控制

#### ➤ Tank-Like 小车曲线跟踪线性化模型(4)



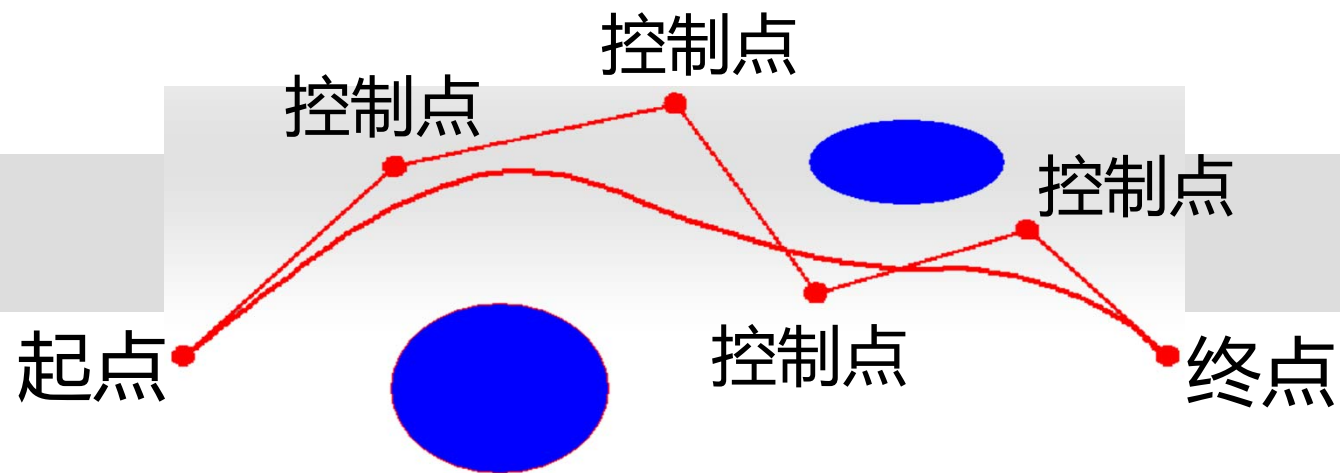
# 智能机器人运动控制与规划-总结

## 移动机器人平面曲线规划



# 智能机器人运动控制与规划-总结

## 移动机器人平面曲线规划

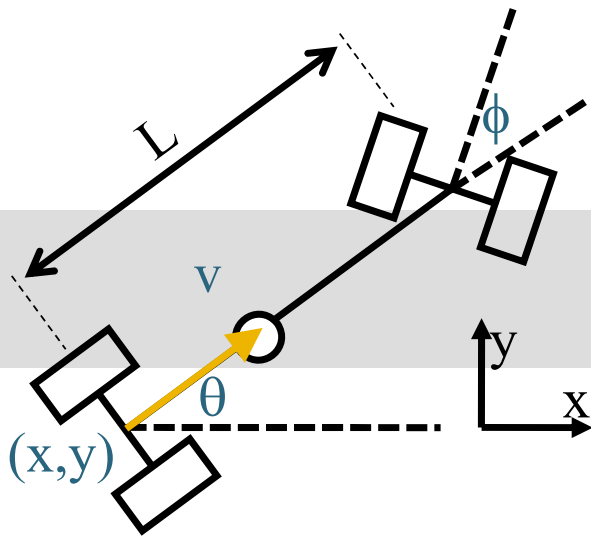




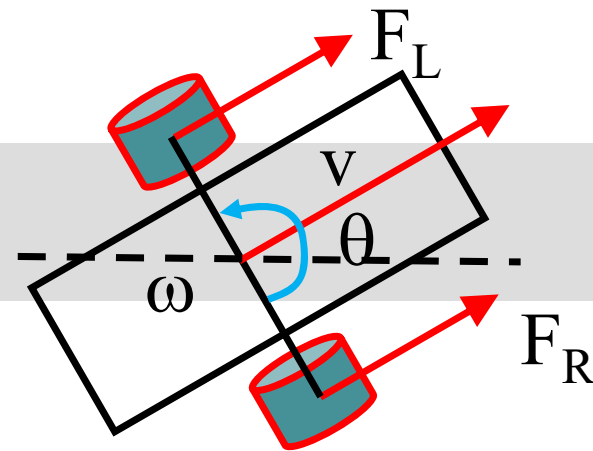
# 智能机器人运动控制与规划-总结



## 移动机器人动力学模型及简化



$$v = \frac{1}{T_v s + 1} v_c$$
$$\phi = \frac{1}{T_\phi s + 1} \phi_c$$

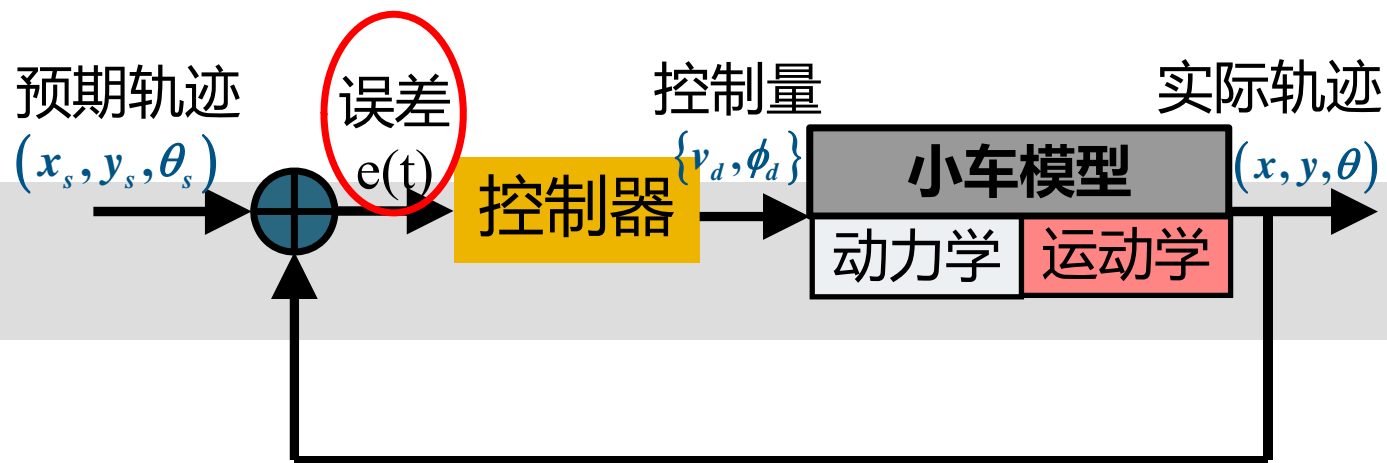


$$v = \frac{1}{Ts + 1} v_c$$
$$\omega = \frac{1}{Ts + 1} \omega_c$$



# 智能机器人运动控制与规划-总结

## ➤ 曲线跟踪算法及控制器设计

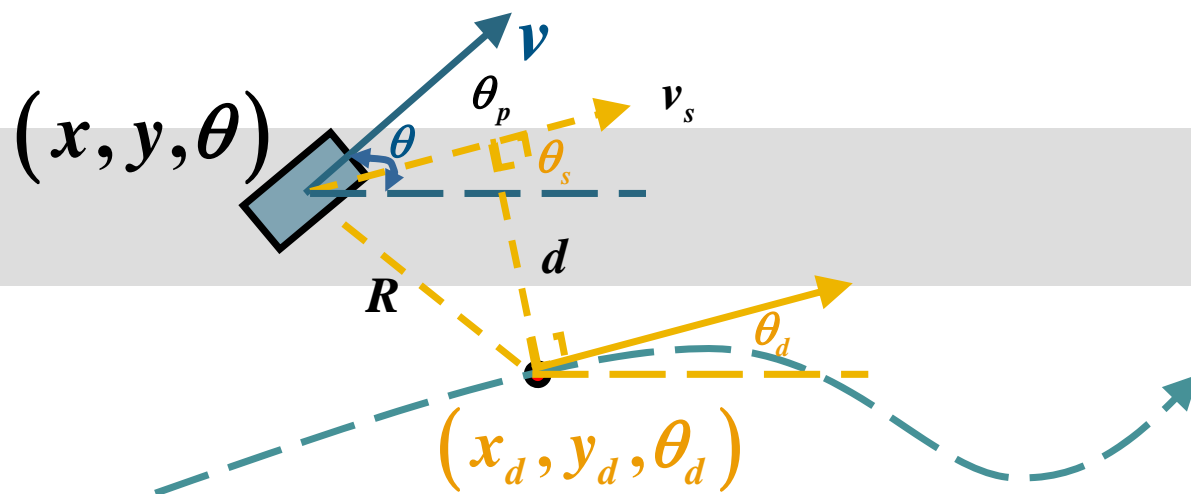


# 智能机器人运动控制与规划-总结



## 曲线跟踪误差分析

小车曲线跟踪误差方程：



$$\theta_p = \theta - \theta_s$$

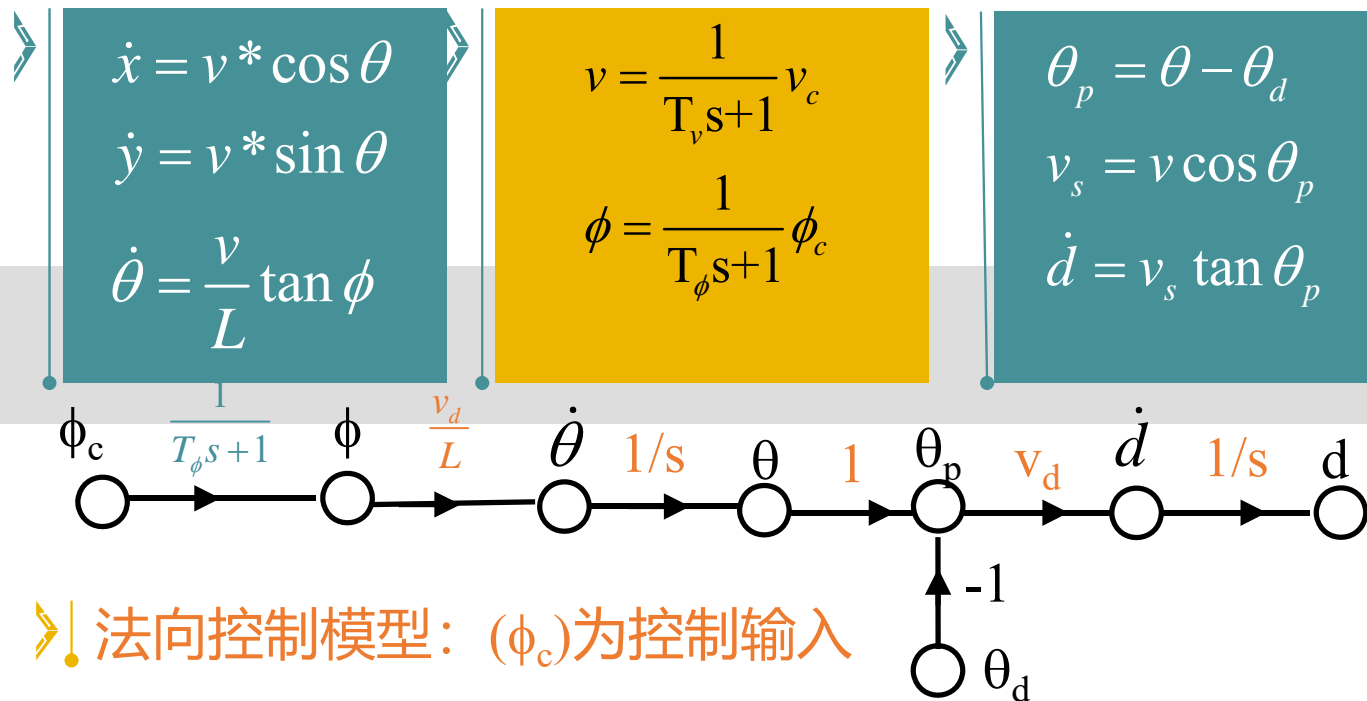
$$v_s = v \cos \theta_p$$

$$\dot{d} = v_s \tan \theta_p$$



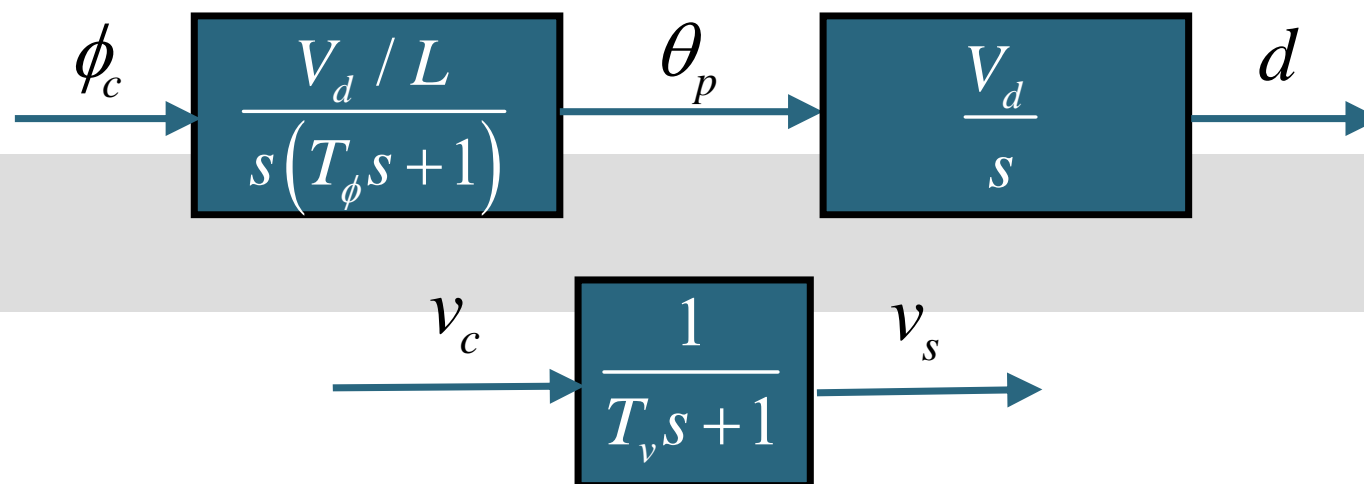
# 智能机器人运动控制与规划-总结

## Car-Like 小车曲线跟踪线性化模型



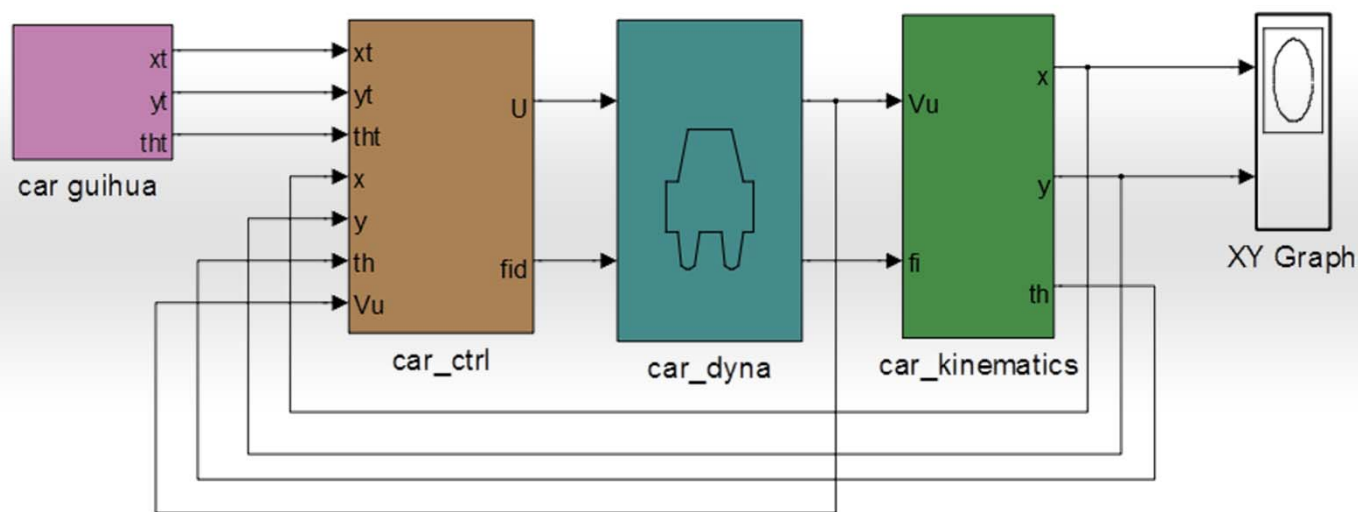
# 智能机器人运动控制与规划-总结

## Car-Like小车曲线跟踪线性化模型



# 智能机器人运动控制与规划-总结

## 小车曲线跟踪仿真



在构建小车运动曲线规划、运动学、动力学、控制器模型的基础上，进行小车跟踪曲线仿真